

مطالعه شاخص‌های رسوب‌شناسی آبرفت‌های رودخانه خرم‌رود (شهرستان خرم‌آباد) و ارزیابی مناسب بودن آن‌ها برای استفاده به عنوان سنگدانه بتن

امین جمشیدی^{*}، مصطفی صداقت‌نیا^۲ و سعید علیقلی^۴

۱- دانشیار گروه زمین‌شناسی، دانشکده علوم، دانشگاه لرستان، خرم‌آباد، ایران

۲- دانشجوی دکترا رسوب‌شناسی و سنگ‌شناسی رسوبی، دانشکده علوم، دانشگاه بولوی‌سینا، همدان، ایران

۳- کارشناس آزمایشگاه مرکزی دانشگاه لرستان، خرم‌آباد، ایران

۴- استادیار گروه زمین‌شناسی، مؤسسه فناوری، علم و پایابی، دانشگاه فدراسیون، بالارات ۳۳۵۰، وی آی سی، استرالیا

نویسنده مسئول: Jamshidi.am@lu.ac.ir

دریافت: ۱۴۰۳/۶/۲۳ پذیرش: ۱۴۰۳/۱۱/۳۰

نوع مقاله: پژوهشی

چکیده

هدف از پژوهش حاضر، بررسی شاخص‌های رسوب‌شناسی رسوبات رودخانه خرم‌رود (شهرستان خرم‌آباد، استان لرستان) به روش لحظه‌ای، تعیین منشأ رسوبات و شناخت عامل حمل آن‌ها و در نهایت ارزیابی پتانسیل رسوبات رودخانه مذکور برای استفاده به عنوان سنگدانه بتن می‌باشد. در این راستا تعداد ۱۵ نمونه به صورت نظاممند از رسوبات کف و دیواره کاتال رودخانه برداشت گردید. بر اساس آنالیز دانه‌بندي، رسوبات در چهار گروه ماسه گراوی، گراول ماسه‌ای، گراول ماسه‌ای گلی و ماسه گلی گراوی قرار دارند. میانگین جورشدنگی رسوبات ۲/۲۱ فی می‌باشد که بیانگر جورشدنگی بسیار بد رسوبات است. میانگین شاخص کشیدگی ذرات ۱/۸۲ و میانگین کجشدنگی آن‌ها ۰/۱۳ بوده که گویای کجشدنگی به سمت رسوبات دانه‌بریز است. حرکات کششی، جهشی و معلق به عنوان مهم‌ترین مکانیسم‌های حرکت رسوبات شناخته شدند. اجزاء آواری رسوبات شامل کوارتز، فلدسپات و خرد سنگ‌های رسوبی، آذرین و دگرگونی می‌باشند. فرسایش سنگ‌های رسوبی تاقدیس خرم‌آباد را می‌توان به عنوان منشأ اصلی خرد سنگ‌های رسوبی رودخانه در نظر گرفت. منشأ سایر ذرات نظیر کوارتز، فلدسپات و خرد سنگ‌های آذرین و دگرگونی را می‌توان به حمل و انتقال آن‌ها از منشأ بالادستی رودخانه نسبت داد. رودخانه خرم‌رود از نوع ماندری با پیچش کم می‌باشد که در بازه‌های زمانی مورد هجوم سیلاب‌های قوی و مخرب قرار گرفته به طوری که جورشدنگی بسیار بد رسوبات در ارتباط با این سیلاب‌ها می‌باشد. در پایان نتایج دانه‌بندي نشان داد از ۱۵ نمونه رسوب مورد مطالعه، ۲ نمونه از آن‌ها قابلیت استفاده به عنوان سنگدانه بتن را دارند.

واژگان کلیدی: رودخانه خرم‌رود، آبرفت، رسوب‌شناسی، روش لحظه‌ای، سنگدانه بتن

منشأ اولیه خود دارای فاصله زمانی هستند به طوری که چرخه حمل آن‌ها متنوع بوده و حتی ممکن است فازهای رسوب‌گذاری آن‌ها متعدد باشد (اسملی و اسملی، ۱۹۸۳). در چند دهه گذشته اهمیت محیط‌های رودخانه‌ای برای درک بهتر انرژی زیرسطحی به خوبی اثبات شده است (کوربیت و همکاران، ۲۰۱۹). بسیاری از ذخایر هیدرولکربنی جهان از پرکامبرین تا پلیوسن در رسوبات رودخانه‌ای مشاهده شده‌اند (میال، ۲۰۰۶؛ کوربیت و همکاران، ۲۰۱۹). علاوه بر جنبه‌های اقتصادی، این محیط‌ها از نظر رسوب‌شناسی نظیر ارتباط فرآیندها و اشکال بستری (Bedforms) (بست و فیلدينگ، ۲۰۱۹)

۱- پیشگفتار محیط‌های رودخانه‌ای شامل سیستم‌های پیچیده‌ای از فرسایش، حمل و نقل و رسوب‌گذاری هستند که سبب شکل‌گیری اشکال سطحی متنوعی می‌شوند (میال، ۲۰۰۰). این محیط‌ها سیستم‌های دینامیکی متأثر از شرایط اقلیمی، فیزیوگرافی حوضه آبریز، رخدادهای زمین‌ساختی، زمین‌شناسی، سرعت و عمق جریان و حمل و نقل رسوب هستند که همه در شکل‌گیری رخساره‌های رسوبی نقش دارند (دمولین، ۲۰۱۱؛ پترسون و همکاران، ۲۰۱۱). دانه‌های ماسه‌ای از نظر زایشی و اندازه در ارتباط تنگاتنگی با منشأان هستند (تاکر، ۲۰۰۱). این دانه‌ها با

سنگی و تحلیل نمونه‌های رسوبی و مطالعه آن‌ها در بستر رودخانه‌ها می‌تواند اطلاعات با ارزشی در ارتباط با رخدادهای اقلیمی، زمین‌ساختی دوره کواترنر و تعیین منشأ رسوبات رودخانه فراهم کند (وندربرق، ۲۰۰۳؛ ماوو و همکاران، ۲۰۰۹؛ آمارجوف و همکاران، ۲۰۱۵؛ سوهاق و همکاران، ۲۰۲۴). رودخانه خرم‌رود (شهرستان خرم‌آباد، استان لرستان) یکی از زیرشاخه‌های رودخانه کشکان است که در نهایت به رودخانه کرخه می‌ریزد. با توجه به اینکه بخشی از این رودخانه از مرکز شهرستان خرم‌آباد عبور می‌کند، تاکنون پژوهشی در ارتباط با شاخص‌های رسوب‌شناسی، منشأ رسوبات و چگونگی حمل آن‌ها در این بخش از رودخانه انجام نشده است. از این‌رو، مطالعه حاضر سعی در بررسی شاخص‌های رسوب‌شناسی آبرفت‌های رودخانه خرم‌رود (در بخش‌های عبوری از مرکز شهرستان خرم‌آباد)، تعیین منشأ رسوبات و شناخت ساز و کار حمل آن‌ها دارد. همچنین در بخش دیگری از مطالعه حاضر، به ارزیابی مناسب بودن رسوبات رودخانه خرم‌رود برای استفاده به عنوان سنگدانه بتن پرداخته شده است.

۲- موقعیت جغرافیایی و زمین‌شناسی منطقه

منطقه مورد مطالعه شامل بخشی از رودخانه خرم‌رود خرم‌آباد به طول ۱۸ کیلومتر می‌باشد که از مرکز شهرستان خرم‌آباد عبور می‌کند. شکل ۱، موقعیت رودخانه خرم‌رود و گسترش رسوبات کف کانال رودخانه را نشان می‌دهد. این رودخانه از زیرشاخه‌های مهم رودخانه کشکان است که در نهایت به رودخانه کرخه متصل می‌شود. بر اساس نقشه زمین‌شناسی منطقه که بخشی از نقشه ۱/۲۵۰۰۰ شهرستان خرم‌آباد است، واحدهای سنگ‌چینه‌ای دوران میان‌زیستی و نوزیستی رخنمون دارند. واحدهای دوران میان‌زیستی شامل سازندهای سروک (کربناته-مارنی)، ایلام (کربناته-مارنی)، گورپی (شیلی-مارنی) و امیران (تخریبی) و واحدهای دوران نوزیستی شامل سازندهای تاریبور (کربناته)، کشکان (تخریبی)، آسماری-شهبازان (کربناته-دولومیتی)، گچساران (تبخیری-کربناته) و همچنین رسوبات آبرفتی جوان می‌باشند که این واحدهای سنگ-چینه‌ای در حوزه آبریز و همچنین در مسیر رودخانه خرم‌رود قرار گرفته‌اند (شکل ۲). گسترش سازندهای ناحیه مورد مطالعه در شکل ۳ نمایش داده شده‌اند.

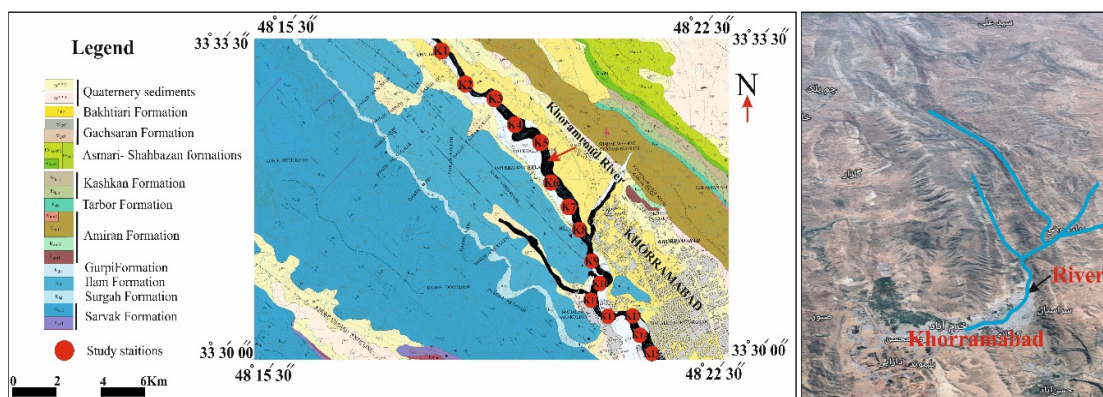
تجزیه و تحلیل ریخت‌شناسی (اوون و همکاران، ۲۰۱۵)، مدیریت و تکامل رودخانه‌ها در پاسخ به عملکرد انسانی و اقلیمی (آدلوی و سانده‌راجان، ۲۰۱۹) مورد توجه محققان قرار گرفته‌اند. رسوبات عمده‌ای محصول فرسایش مواد تشکیل دهنده پوسته سنگی زمین هستند که در اثر عواملی مانند نیروهای هیدرودینامیکی از محل تولید دور شده و در محل دیگری تجمع می‌یابند. در طی تهشیینی ذرات رسوبی، نظم و ترتیبی در آن‌ها به شکل یک ساختار مشخص حاصل می‌شود. به هر میزان نیروهای مؤثر در تهشیینی ذرات رسوبی متفاوت و متغیر باشند، این ساختمان نیز پیچیده و با تغییرات همراه خواهد بود. رسوبات رودخانه‌ای بسته به نوع سازنده‌های زمین‌شناسی، شرایط اقلیمی و فرآیندهای فرسایشی حکم‌فرما بر حوضه آبریز و از سوی دیگر وضعیت توپوگرافی، از تنوع زیادی برخوردار هستند. فاصله کم حوضه آبریز تا رودخانه، بر روند حمل رسوبات درشت‌دانه تأثیر داشته و موجب فراوانی گراول (گرانول، پبل، کابل و بولدر) در یک گستره خاص می‌شود. معمولاً در مواردی که فاصله مذکور زیاد باشد، رسوبات ریزدانه همچون ماسه، سیلت و رس وجود دارند. علاوه بر این، بخشی از رسوبات نیز به شکل محلول در آب توسط رودخانه حمل می‌شوند.

اندازه ذرات رسوب نشانگری از شرایط بیرونی و ذاتی محیط در پاسخ به تغییرات ژئومورفیکی و اقلیمی است که این به نوبه خود منعکس کننده تعادل مورفودینامیکی محیط رسوبی است (گوپتا و همکاران، ۲۰۰۲؛ آرنز و همکاران، ۲۰۰۲؛ واتسون و همکاران، ۲۰۱۳؛ زیلنسکی و همکاران، ۲۰۱۸)، بنابراین دانه‌بندی ذرات رسوب، ابزاری مناسب برای درک بهتر و دقیق‌تر فرآیندهای مورفودینامیکی و ژئومورفیکی محسوب می‌شود (سوهاق و همکاران، ۲۰۲۴). جنس سنگ‌ها، فعالیت‌های زمین‌ساختی، ساختارهای زمین‌شناسی و شرایط اقلیمی از جمله عواملی هستند که در تشکیل محیط رسوبی رودخانه‌ای و بار رسوبی حاصل از آن تأثیر می‌گذارند (دی‌گویلیو و همکاران، ۲۰۰۳؛ گارنیری و پیروتا، ۲۰۰۸؛ سها و باساک ۲۰۲۰). شاخص‌های آماری رسوبات به گونه مستقیم، بیانگر شرایط هیدرولیکی و هیدرولوژیکی حاکم بر آن‌ها می‌باشد (بلات و بی، ۲۰۰۸). نظر به متفاوت بودن جنس، اندازه و شکل ذرات رسوب در محیط‌های رسوبی مختلف، مطالعات دانه



شکل ۱. موقعیت رودخانه خرم‌رود نسبت به شهرستان خرم‌آباد و گسترش رسوبات کف کanal رودخانه (دید به سمت غرب)

Fig. 1. The location of Khorramrood River in Khorramabad city and the spread of river channel bottom sediments (View to the west)



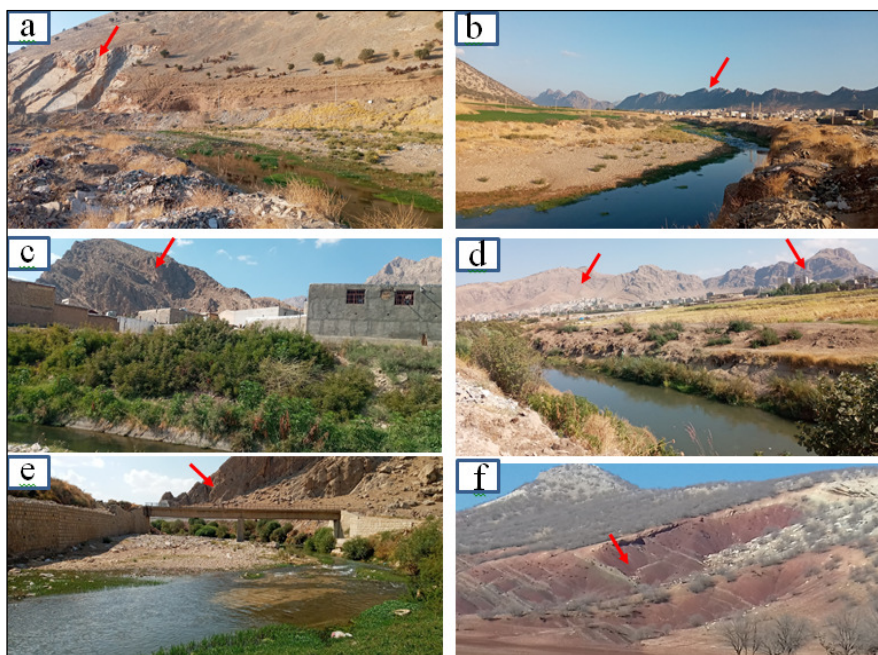
شکل ۲. نقشه زمین‌شناسی منطقه مورد مطالعه (سازمان زمین‌شناسی کشور، ۲۰۱۱) به همراه تصویر ماهواره‌ای گسترش حوضه آبریز رودخانه خرم‌رود. مکان‌های نمونه‌برداری رودخانه نگ و با کدهای K1 تا K15 نشان داده شده‌اند.

Fig. 2. Geological map of the study area (Geological organization of the country, 2011) along with satellite images of the expansion of the Khorramrood river basin. The locations of the sampling points are shown with red circles and codes K1 to K15.

آبی (فصل تابستان) انجام شد. تعداد ۱۵ نمونه با فواصل بین ۵۰۰ متر تا ۱ الی ۱/۵ کیلومتری به صورت نقطه‌ای از کف کanal رودخانه در ژرفای ۵ الی ۲۰ سانتی‌متری انجام گرفت. همچنین نمونه‌برداری در برخی از ایستگاه‌ها از دیواره کanal رودخانه صورت گرفته است (شکل ۴).

۳- روش مطالعه

برای رسیدن به اهداف پژوهش حاضر، ابتدا نقشه زمین‌شناسی ۱/۲۵۰۰۰ و نقشه توپوگرافی ۱/۵۰۰۰۰ شهرستان خرم‌آباد مورد بررسی قرار گرفت. سپس یک مسافت ۲۳ کیلومتری از مسیر رودخانه خرم‌رود مورد نمونه‌برداری قرار گرفت. نمونه‌برداری در فصل خشک و کم



شکل ۳. نمایی از سازندۀای منطقه مورد مطالعه (تاقدیس خرم‌آباد): a) ایلام (دید به سمت جنوب باختری)، b) امیران (دید به سمت شمال)، c) سورگاه (دید به سمت جنوب باختری)، d) گرو و سروک (دید به سمت جنوب باختری)، e) آسماری (دید به سمت جنوب خاوری) و f) کشکان (دید به سمت شمال)

Fig. 3. A view of the formations of the study area (Khorramabad anticline) a) Ilam (view to the southwest) b) Amiran (View to the north) c) Surgah (view to the southwest) d) Garoo and Sarvak (view to the southwest) e) Asmari (View to the southeast) f) Kashkan (View to the north)



شکل ۴. عملیات نمونه‌برداری و بخشی از رسوبات جمع آوری شده از کف کanal رودخانه برای آنالیز دانه‌بندی
Fig.4. Sampling and part of the sediments taken from the bottom channel of the river for gradation analysis

اضافی و شاخ و برگ و مواد زاید نمونه‌ها جدا شدند و پس از کوارتر کردن (چهار بخش کردن)، یک چهارم نمونه در گرمخانه با دمای ۱۰۵ درجه سانتی‌گراد به مدت ۴۸ ساعت قرار گرفت تا رطوبت آن از بین برود. نمونه‌های خشک شده با دقت ۰/۰۱ گرم با ترازوی دیجیتال وزن شدند. مطالعات دانه‌سنجی با استفاده از روش غربال خشک و با فواصل

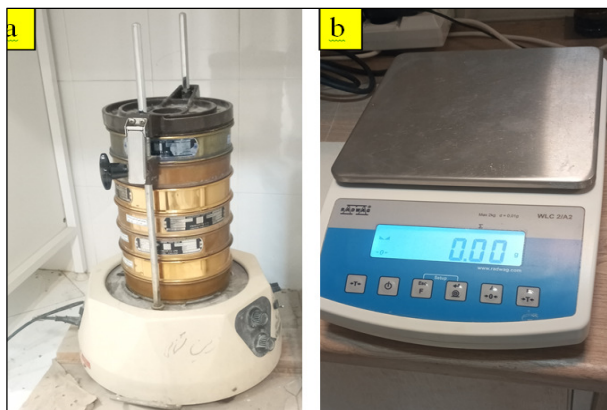
در برخی از ایستگاه‌های نمونه‌برداری نظریه K15, K12, K11, K6, K4, K3 که نسبت به سایر ایستگاه‌ها حاوی مقادیر بیشتری گراول بودند، جهت دقت در مطالعات گردشگی، کرویت و فرم رسوبات در هر کدام از ایستگاه‌ها دو نمونه برداشت شده است. نمونه‌ها در کیسه‌های پارچه‌ای نگهداری و به آزمایشگاه انتقال داده شدند. مواد

عکس‌برداری مدل Olympus-DP71 در آزمایشگاه صورت گرفت. در نهایت، جهت ترسیم منحنی‌های دانه‌بندی از نرم‌افزار اکسل 2016 Excel استفاده شد.

۴- نتایج

نتایج آنالیز دانه‌بندی به صورت فراوانی وزنی ذرات، فراوانی تجمعی ذرات، فراوانی نوع هر ذره رسوبی و طبقه‌بندی نمونه‌ها به ترتیب در جدول‌های ۱ تا ۳ ارائه شده‌اند.

کوچکتر از ۱۰ مش تا بزرگ‌تر از ۲۳۰ مش (کارور، ۱۹۷۱) انجام شد. الکهای به کار برده شده برای آنالیز دانه‌بندی شامل الکهای ۱۰، ۱۸، ۳۵، ۶۰، ۱۲۰ و ۲۳۰ مش می‌باشند. دانه‌بندی توسط دستگاه لرزاننده در آزمایشگاه رسوب‌شناسی صورت گرفت (شکل ۵). جهت مطالعات کانی‌شناسی بر روی ذرات ماسه‌ای تعداد ۱۵ نمونه رسوب انتخاب شده و از آن‌ها مقطع نازک میکروسکوپی تهیه شد. مطالعه مقاطع نازک رسوبی توسط میکروسکوپ پلاریزان Olympus-BX51 مجهر به دوربین



شکل ۵. ابزار استفاده شده برای دانه‌بندی نمونه‌ها؛ a) دستگاه لرزاننده و b) ترازوی دیجیتال
Fig. 5. Devices used for the samples gradation, a) vibrating device, b) digital balance

جدول ۱. نتایج آنالیز دانه‌بندی رسوبات: فراوانی وزنی ذرات

Table 1. The results of the gradation analysis of sediments: weight frequency of grains

(230 <) Pan	230	120	60	35	18	10	10 <	Sieve number (mesh)
4 >	4	3	2	1	0	-1	-1 >	Sieve number (phi)
0.063 >	0.063	0.125	0.25	0.50	1	2	2 >	Diameter of sieve (mm)
Frequency of grains for each class (%)							Initial mass (gr)	Sample No.
5.21	12.43	9.46	16.99	17.28	12.63	8.97	16.83	1251.32 K1 (Channel wall)
6.92	14.23	10.11	15.71	10.03	15.10	12.05	15.70	1246.87 K2 (Channel wall)
5.47	15.37	10.43	15.00	12.35	9.97	16.04	15.19	1237.52 K3 (Channel wall)
5.14	10.28	11.97	11.09	14.07	11.85	10.37	24.76	1085.90 K4 (Channel bottom)
8.02	9.21	15.56	14.36	21.90	12.96	11.64	18.81	1223.65 K5 (Channel bottom)
4.38	12.99	12.74	14.39	9.92	13.58	14.61	17.25	1220.84 K6 (Channel wall)
5.59	12.14	10.38	12.24	14.77	15.66	12.19	16.84	1190.25 K7 (Channel wall)
7.29	14.06	12.54	15.71	12.28	8.94	12.22	16.81	1250.29 K8 (Channel bottom)
4.72	13.64	13.57	9.58	15.94	12.99	11.35	17.92	1176.81 K9 (Channel bottom)
9.27	10.51	11.87	13.55	12.60	11.50	11.77	18.58	1068.36 K10 (Channel bottom)
5.71	11.33	11.13	18.13	12.40	15.09	11.09	19.87	1012.35 K11 (Channel bottom)
7.56	10.08	9.90	17.00	10.80	13.33	14.42	16.74	1169.21 K12 (Channel bottom)
8.06	10.77	10.70	11.72	10.23	18.06	10.09	20.04	1099.50 K13 (Channel bottom)
6.28	14.92	14.87	13.29	9.84	12.74	15.50	12.14	1198.98 K14 (Channel bottom)
5.26	13.47	12.34	9.57	14.11	14.30	10.04	20.72	1225.29 K15 (Channel bottom)

جدول ۲. نتایج آنالیز دانه‌بندی رسوبات: فراوانی تجمعی ذرات

Table 2. The results of the gradation analysis of sediments: cumulative frequency of grains

(230 <) Pan	230	120	60	35	18	10	10 <	Sieve number (mesh)
4 >	4	3	2	1	0	-1	-1 >	Sieve number (phi)
0.063 >	0.063	0.125	0.25	0.50	1	2	2 >	Diameter of sieve (mm)
Cumulative frequency of grains for each class (%)							Initial mass (gr)	Sample No.
99.80	94.59	82.16	72.70	55.71	38.43	25.80	16.83	1251.32
99.85	92.93	78.70	68.59	52.88	42.85	27.75	15.70	1246.87
99.82	94.35	78.97	68.55	53.55	41.20	31.23	15.19	1237.52
99.53	94.39	84.11	72.14	61.05	46.98	35.13	24.76	1085.90
99.77	91.75	82.53	66.97	52.62	43.41	30.45	18.81	1223.65
99.85	95.47	82.49	69.75	55.36	54.44	31.86	17.25	1220.84
99.80	94.21	82.07	17.69	59.45	44.69	29.03	16.84	1190.25
99.85	92.56	78.50	65.96	50.25	37.97	29.03	16.81	1250.29
99.71	94.99	81.35	67.78	58.20	42.26	29.27	17.92	1176.81
99.65	90.38	79.87	68.00	54.45	41.84	30.35	18.58	1068.36
99.79	94.08	82.75	73.63	58.45	46.05	30.96	19.87	1012.35
99.83	92.27	82.19	72.28	55.28	44.49	31.16	16.74	1169.21
99.67	91.61	80.84	70.14	58.42	84.19	30.13	20.04	1099.50
99.58	93.30	78.38	63.51	50.22	40.38	27.64	12.14	1198.98
99.81	94.55	81.08	68.74	59.17	45.06	30.76	20.72	1225.29
								K15

جدول ۳. نتایج آنالیز دانه‌بندی رسوبات: فراوانی نوع هر ذره رسوبی و طبقه‌بندی نمونه‌ها

Table 3. The results of the gradation analysis of sediments: frequency of grains and classification of the samples

Sample No.	M (%)	S (%)	G (%)	S/M	Sediment type
K1	5.21	68.81	25.81	13.20	gS
K2	6.92	65.19	27.76	9.40	gS
K3	5.47	63.14	31.23	11.52	sG
K4	5.14	59.27	35.14	11.51	sG
K5	8.02	61.32	30.46	7.64	gmS
K6	4.38	63.66	31.86	14.52	sG
K7	5.59	65.22	29.04	11.65	gS
K8	7.29	63.54	29.04	8.71	gmS
K9	4.72	65.73	29.27	13.91	gS
K10	9.27	60.05	30.36	6.47	msG
K11	5.71	63.15	30.97	11.04	sG
K12	7.56	61.13	31.17	8.07	msG
K13	8.06	61.51	30.13	7.63	msG
K14	6.28	65.68	27.65	10.45	gS
K15	5.26	63.81	30.76	12.12	sG

شاخص‌های رسوب‌شناسی می‌توان بلوغ بافتی یک رسوب را ارزیابی کرد (گودی و میدلتون، ۲۰۰۶). علاوه بر روش ترسیمی برای محاسبه شاخص‌های رسوب‌شناسی، از روش لحظه‌ای نیز می‌توان استفاده کرد (مکبراید، ۱۹۷۱). از آنجایی که برای محاسبه شاخص‌های رسوب‌شناسی بر اساس روش لحظه‌ای از روابط ریاضی استفاده می‌شود، بنابراین دقت آن به مراتب بیشتر از روش ترسیمی می‌باشد. شاخص‌های رسوب‌شناسی شامل میانگین (\bar{x})، جورش‌گی (σ), کچشیدگی (Sk) و کشیدگی (K) رسوبات به روش لحظه‌ای به ترتیب با استفاده از روابط زیر محاسبه شدنند (مکبراید، ۱۹۷۱):

$$\bar{x} = \frac{\sum f \cdot m}{n} \quad (1)$$

$$\sigma = \sqrt{\frac{\sum f(m - \bar{x})^2}{100}} \quad (2)$$

۵- بحث

۱-۵ طبقه‌بندی رسوبات

بر اساس نتایج آنالیز دانه‌بندی، رسوبات رودخانه خرم‌رود مطابق با طبقه‌بندی فولک (۱۹۷۴)، رسوبات مورد مطالعه رودخانه خرم‌رود در در چهار گروه ماسه گراوی (gS)، گراول ماسه‌ای (sG)، گراول ماسه‌ای گلی (msG) و ماسه گلی گراوی (gmS) قرار دارند. طبقه‌بندی رسوبات مورد مطالعه به صورت شماتیک در شکل ۶ نمایش داده شده‌اند.

۲- شاخص‌های رسوب‌شناسی

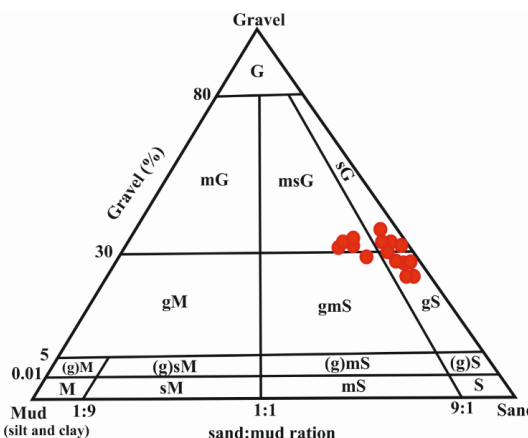
بهطور کلی بافت در رسوبات آواری نشانگر انواع فرآیندهای تأثیرگذار از زمان هوازدگی و جدایش دانه‌ها از سنگ منشاء تا زمان تهنشست رسوب است که در صحراء یا با استفاده از مطالعات میکروسکوپی قابل بررسی است. با استفاده از

دارند، بنابراین در رده ماسه درشت قرار می‌گیرند. جورشده‌گی رسوبات بین ۲/۱۱ تا ۲/۲۹ فی (میانگین: ۲/۲۱ فی) است که بیانگر جورشده‌گی خیلی بد یا بد می‌باشد. کچشده‌گی رسوبات از ۰/۰۲ تا ۰/۲۸ (میانگین: ۰/۱۳) تغییر می‌کند که دلالت بر کچشده‌گی به سمت ذرات دانه‌ریز می‌باشد. کشیدگی رسوبات از ۱/۷۴ تا ۱/۹۹ (میانگین: ۱/۸۲) متغیر است که از نوع خیلی کشیده است. این نوع کشیدگی بیانگر جورشده‌گی خوب ذرات می‌باشد و در برخی از نمونه‌ها مانند نمونه‌های K1 و K3 قابل مشاهده است.

$$Sk = \frac{\sum f(m - \bar{a})^3}{100\sigma^3} \quad (3)$$

$$K = \frac{\sum f(m - \bar{a})^4}{100\sigma^4} \quad (4)$$

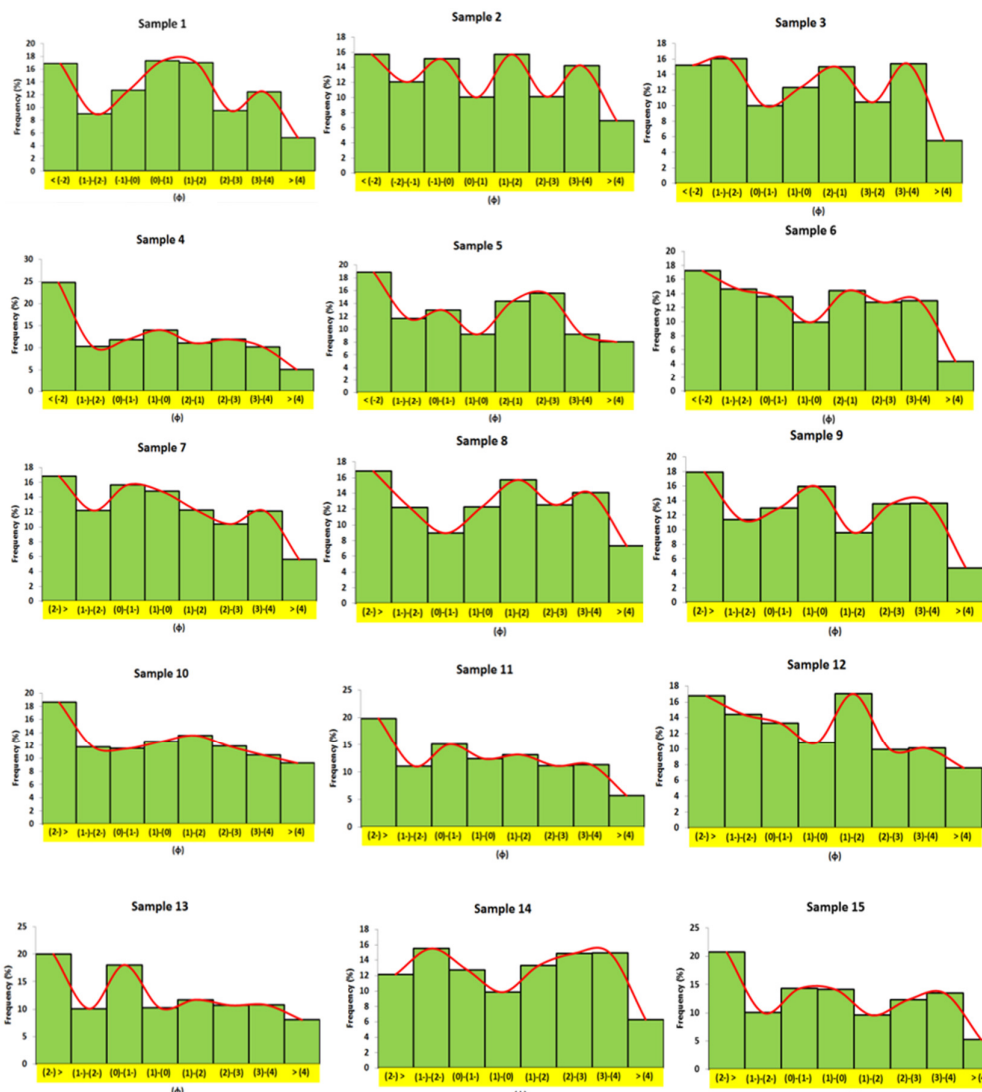
که در آن‌ها، m نقطه‌ی وسط، f فراوانی هر رده رسوبی و n مجموع فراوانی رده‌های رسوبی است. در جدول ۴ مقادیر شاخص‌های رسوب‌شناسی محاسبه شده بر اساس روابط ۱ تا ۴ ارائه شده‌اند. میانگین قطر ذرات رسوبی بین ۰/۲۹ تا ۰/۸۲ فی (میانگین: ۰/۵۷ فی) می‌باشد. با توجه به اینکه قطر ذرات بین صفر تا ۱ فی قرار



شکل ۶. طبقه‌بندی نمونه‌های برداشت شده رسوبات رودخانه خرمرود در محدوده مورد مطالعه بر اساس فولک (۱۹۷۴) (ماسه گراولی S، گراول ماسه‌ای گلی gS، ماسه گلی گراولی msG، ماسه‌ای gM، (g)sM، (g)M، M، sM، S) (gS gravelly sand, sG sandy gravel, msG muddy sand gravel, gmS gravelly mud sand)

جدول ۴. مقادیر شاخص‌های رسوب‌شناسی نمونه‌های مورد مطالعه
Table 4. The values of sedimentological indices of the samples

Sample No.	$\bar{a} (\varphi)$	$\sigma (\varphi)$	Sk	K
K1	0.62	2.11	0.06	1.99
K2	0.69	2.22	0.09	1.81
K3	0.66	2.21	0.07	1.76
K4	0.29	2.24	0.24	1.83
K5	0.62	2.26	0.08	1.80
K6	0.51	2.18	0.13	1.78
K7	0.51	2.16	0.19	1.91
K8	0.78	2.25	-0.02	1.78
K9	0.56	2.19	0.10	1.80
K10	0.64	2.29	0.13	1.81
K11	0.45	2.21	0.19	1.84
K12	0.54	2.21	0.19	1.88
K13	0.49	2.27	0.23	1.85
K14	0.82	2.19	0.007	1.74
K15	0.39	2.24	0.28	1.82
Max	0.82	2.29	0.28	1.99
Min	0.29	2.11	-0.02	1.74
Average	0.57	2.21	0.13	1.82



شکل ۷. نمودارهای ستونی (هیستوگرام) و منحنی‌های رسوبات (مشاهده می‌شود که دنباله منحنی‌های نرمال غالباً به سمت رسوبات دانه ریز کج شده‌اند).

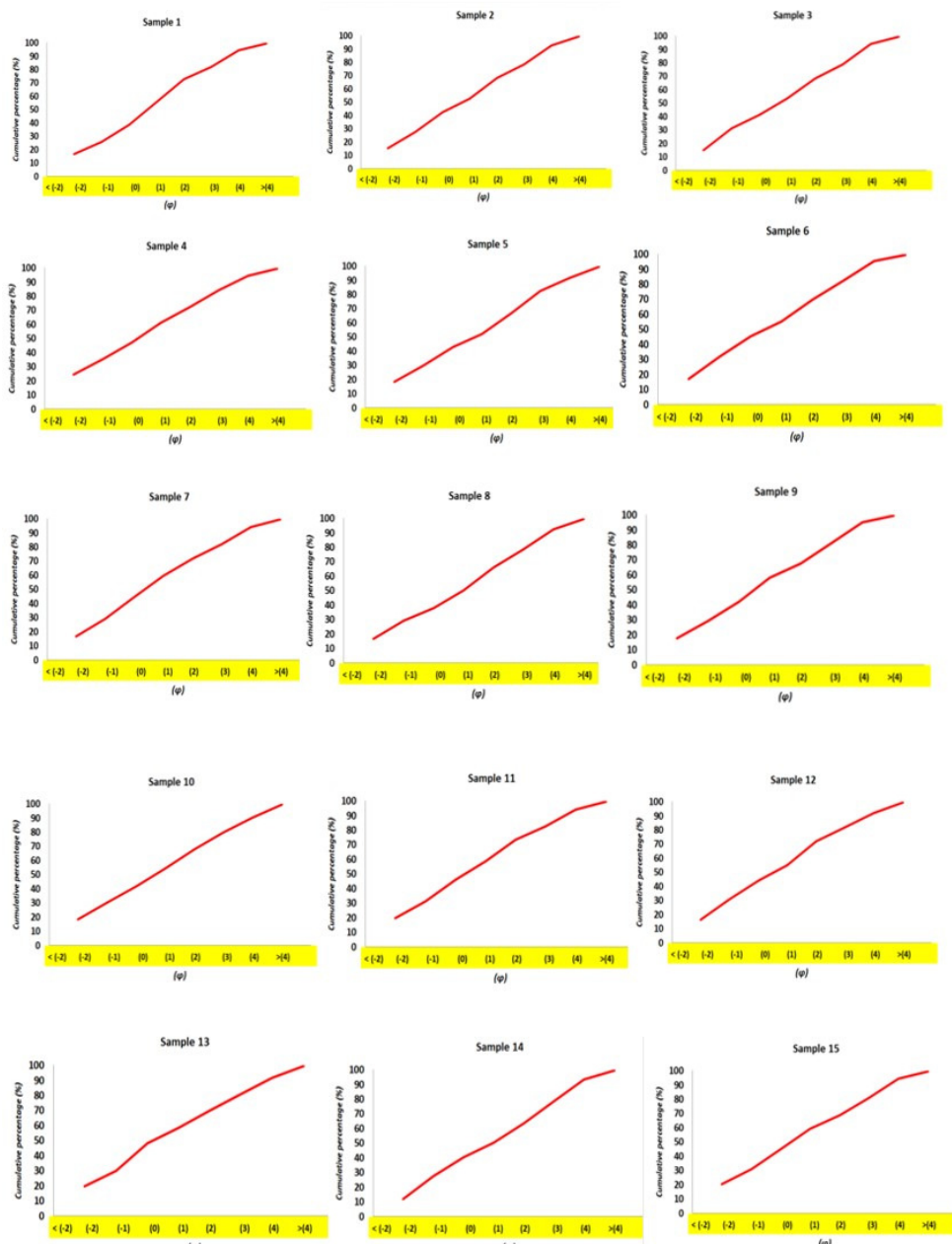
Fig. 7. Histogram diagrams and normal curves of sediments (it can be seen that the sequence of normal curves is often tilted towards fine-grained sediments)

گراولی و همچنین یک یا چند مد دیگر مانند مasse متوسط و بعضًا بسیار درشت قرار دارند. بر اساس داده‌های درصد تجمعی رسوبات، منحنی‌های تجمعی آن‌ها ترسیم و در شکل ۸ نمایش داده شدند. شب منحنی تجمعی، جورشدگی رسوبات را نشان می‌دهد به طوری که منحنی با شب زیاد حکایت از انحراف معیار کمتر و جورشدگی بهتر رسوب دارد و برعکس. از سوی دیگر اگر ذرات از نظر اندازه در گروه‌های مختلف قرار گیرند، شکستگی در منحنی ایجاد می‌شود (موسی حرمنی، ۲۰۰۵). در شرایطی که درصد ذرات درشت افزایش

شکل ۷ نمودارهای ستونی (هیستوگرام) نمونه‌های غربال شده را نشان می‌دهد. از متصل کردن نقاط وسط نمودارهای هیستوگرام، منحنی‌های توزیع درصد فراوانی هر نمونه ترسیم شده است. از شکل ۷ مشاهده می‌شود که تعدد مراکز تجمع در هیستوگرام‌ها (مدها) نشان دهنده جورشدگی ضعیف رسوبات و تعدد منشأ آن‌ها است. بنابراین اگر هیستوگرامی دارای دو مد باشد، ممکن است رسوب از دو منشأ سرچشمه گرفته باشد (موسی حرمنی، ۲۰۰۵). بر اساس شکل ۷ مشاهده می‌شود که هیچ کدام از نمونه‌ها تکمنشأی نیست و همه آن‌ها در کنار یک مد

با جورشدگی خوب حاصل شده‌اند (فولک، ۱۹۸۰؛ ساهو و شارما، ۲۰۲۳). بر اساس منحنی‌های تجمعی ارائه شده در شکل ۸، هر دو نوع منحنی سهمی و لگاریتمی در نمونه‌های مورد مطالعه قابل مشاهده هستند. همچنین اکثر نمودارها دو یا سه شکستگی از خود نشان داده‌اند به هر حال، صرفاً فراوانی ریزدانه‌ها سبب افزایش شیب منحنی در نمودارهای تجمعی ذرات شده است.

یابد، منحنی موازی با محور X خواهد شد. بر اساس شکل، این نوع منحنی را سهمی می‌نامند و نشان دهنده محیطی مانند رودخانه است که برای مدت کمی انرژی زیاد بوده و رسوبات جورشدگی کمی دارند. در طرف مقابل، در حالتی که منحنی در یک بخش از رسوب دارای شیب تند باشد، یک منحنی لگاریتمی حاصل می‌شود که نشان می‌دهد انرژی بصورت پیوسته و مدام بالا بوده و در نتیجه رسوبات

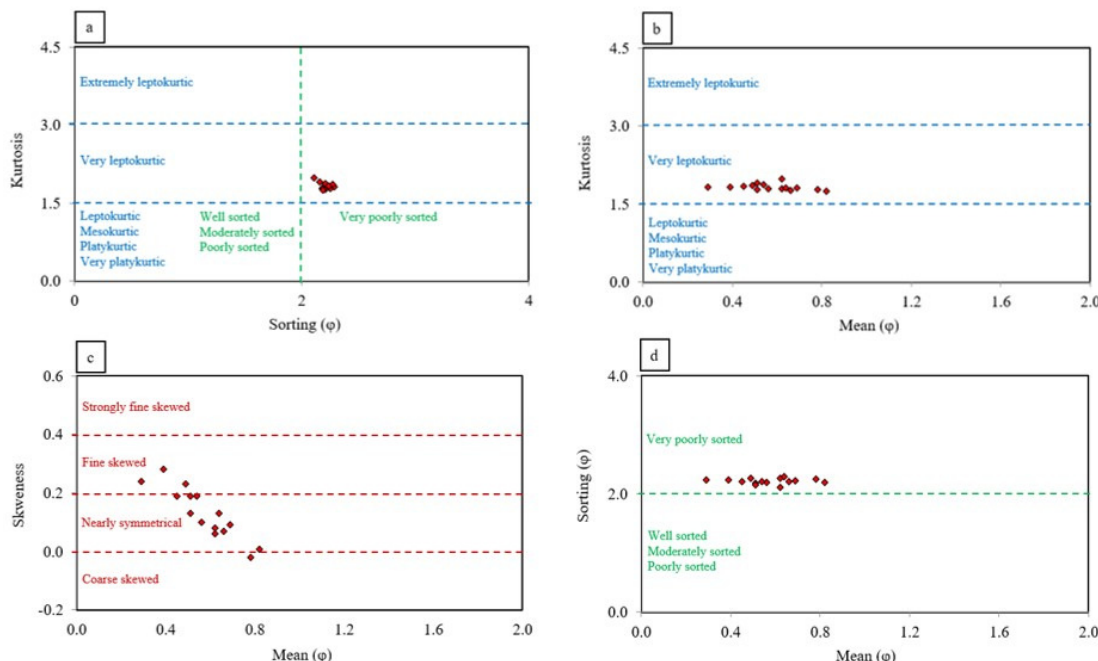


شکل ۸. منحنی‌های تجمعی رسوبات (نقاط شکست در نمودارها بیانگر مکانیسم‌های مختلف حمل و نقل و رسوب‌گذاری می‌باشند).

Fig. 8. Cumulative curves of sediments (break points in the graphs represent different transport and deposition mechanisms)

در رده کج شدگی تقریباً متقاضن قرار گرفته‌اند. در شکل ۹d، اندازه میانگین رسوبات در برابر جورشدگی ترسیم شده است. از این شکل می‌توان مشاهده کرد که اندازه میانگین رسوبات از ۰/۲۹ تا ۰/۸۲ فی تغییر می‌کنند و از منظر جورشدگی از نوع جورشدگی خیلی بد^۷ می‌باشند. به طور کلی در رخساره‌های محیط‌های تخریبی از مناطق بالا دست به سمت پایین دستی یک روند معنی‌داری بین توزیع اندازه ذرات و منحنی کشیدگی رسوبات وجود دارد و به سمت مناطق پایین دست منحنی فراوانی پهن‌تر می‌شود (دادوی و همکاران، ۱۴۰۱). به حال چنانچه ارتباط معناداری بین توزیع اندازه ذرات و کشیدگی منحنی فراوانی وجود نداشته باشد می‌تواند ناشی از منشأهای متفاوت برای رسوبات باشد.

در شکل ۹ ۹ شاخص‌های رسوب‌شناسی رودخانه خرمرود به صورت نمودارهای دومحوره ترسیم شده‌اند. در شکل ۹a، جورشدگی رسوبات در برابر کشیدگی ترسیم شده است و بر اساس این نمودار رسوبات در رده جورشدگی خیلی بد^۱ و خیلی کشیده^۲ قرار می‌گیرند. شکل ۹b، میانگین اندازه رسوبات در برابر کشیدگی را نشان می‌دهد. بر اساس این شکل، اندازه میانگین رسوبات بین ۰/۲۹ تا ۰/۸۲ فی و از منظر کشیدگی، از نوع خیلی کشیده^۳ قرار می‌گیرند. شکل ۹c، میانگین اندازه رسوبات در برابر کج شدگی در شکل ۹d نمایش داده شده است. با توجه به این شکل، اندازه میانگین رسوبات در رده ۰/۲۹ تا ۰/۸۲ فی و از دیدگاه کج شدگی در رده‌های کج شدگی منفی^۴، کج شدگی تقریباً متقاضن^۵ و کج شدگی منفی^۶ قرار می‌گیرند. به حال، غالب نمونه‌ها



شکل ۹. نمودار دو محوره توزیع شاخص‌های رسوبات رودخانه خرمرود؛ a) جورشدگی و کشیدگی، b) میانگین و کشیدگی، c) میانگین و کج شدگی و d) میانگین و جورشدگی

Fig. 9. Biaxial graphs of the distribution of statistical indices of Khorramrood River sediments, a) Sorting and kurtosis, b) Mean and Kurtosis, c) mean and Skweness, d) mean and sorting

فرعی به درون کانال اصلی است (اشلاگر و همکاران، ۲۰۰۹؛ آمارجوف و همکاران، ۲۰۱۵؛ آران و همکاران، ۲۰۱۹؛ سوهاق و همکاران، ۲۰۲۴). مطالعه اشلانگر و همکاران (۲۰۰۹)، بر این نکته تأکید دارد که آبراهه‌های

در امتداد مسیر رودخانه، ناهنجاری‌هایی در نمودارها دیده می‌شود که در ارتباط با ناپیوستگی رسوبی در طول مسیر رودخانه است (اشلاگر و همکاران، ۲۰۰۹). عدم پیوستگی رسوبی در طول مسیر رودخانه‌ها به دلیل ورود شاخه‌های

^۵ Nearly symmetrical

^۶ Fine skewed

^۷ Very poorly sorted

^۱ Very poorly sorted

^۲ Very leptokurtic

^۳ Very leptokurtic

^۴ Coarse skewed

شده، گرد شده و خوب گرد شده قابل تشخیص است (فولک، ۱۹۸۰). با استفاده از رابطه ۵، گردشگی ذرات محاسبه و در شکل ۱۰ به صورت شماتیک ارائه شده‌اند. مطابق با این شکل، دانه‌های گراوی و رابلی از نظر گردشگی در رده‌های خیلی زاویه‌دار، زاویه‌دار، نیمه زاویه‌دار، نیمه گرد شده، گرد شده و خوب گرد شده قرار دارند. گردشگی دانه‌ها در طیف‌های مختلف به مقاومت دانه‌ها در برابر عوامل سایش و سازوکار حمل آن‌ها بستگی دارد. تغییرات شدید گردشگی در ایستگاه‌های به دلیل منشاء‌های متفاوت رسوبات می‌باشد. رسوبات منشأ گرفته از سازنده‌های تخریبی منطقه مورد مطالعه نظیر سازنده‌های کشکان و سازنده امیران تأمین کننده رسوبات با گردشگی بالا برای رودخانه خرم‌رود می‌باشند به عبارتی دیگر رسوبات منشأ گرفته از این سازنده‌ها از ابتدا گردشگی بالایی داشته‌اند. در طرف مقابل، سازنده‌های کربناته منطقه مورد مطالعه غالب به دلیل حمل کوتاه مدت دارای گردشگی پایین‌تری می‌باشند. از دلایل دیگر گردشگی رسوبات با منشأ متفاوت می‌توان به آبراهه‌های متعدد گسترش یافته در منطقه اشاره کرد که پس از مسافتی کوتاه وارد رودخانه خرم‌رود می‌شوند.

فرعی می‌توانند پیچیدگی‌های زیادی بر روی روند رسوبات رودخانه‌های بزرگ ایجاد کند، هر چند دبی آب نیز تأثیر قابل توجه‌ای دارد. اکثر آبراهه‌های فرعی به دلیل شیب زیاد و شدت جریان در آن‌ها قادر به حمل رسوبات دانه درشت‌تر هستند. این رسوبات وقتی وارد کانال اصلی می‌شوند بر نحوه تغییر مشخصه‌های اندازه دانه‌ها تأثیر می‌گذارند (رحمان و همکاران، ۲۰۱۸؛ ساهیدوزمان، ۲۰۲۴).

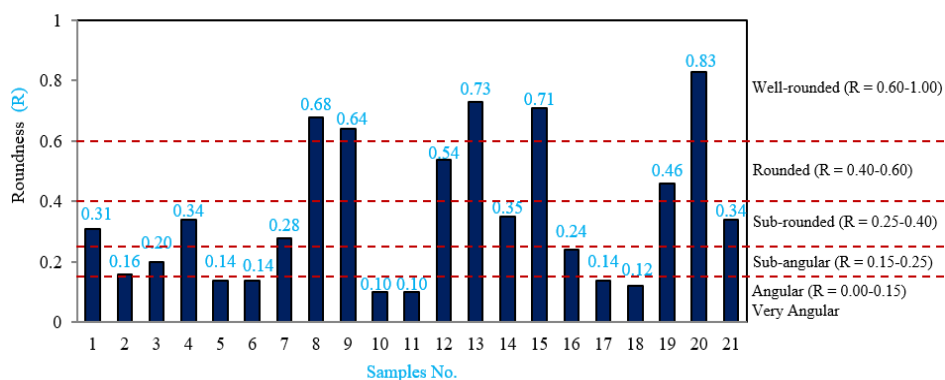
۳-۵- ریخت‌شناسی رسوبات درشت دانه

گردشگی: بر اساس رابطه ۵، گردشگی دانه از نسبت شعاع تیزترین گوشه آن (r_i) به شعاع بزرگ‌ترین دایره‌ای که می‌تواند در خود جای دهد (R_m) به دست می‌آید (فولک، ۱۹۷۴):

$$R = \frac{r_i}{R_m} \quad (5)$$

که در آن، R گردشگی و r_i و R_m به ترتیب شعاع دایره در تیزترین گوشه دانه و شعاع بزرگ‌ترین دایره محاط در دانه هستند.

بر اساس طبقه‌بندی دانه‌ها بر اساس مقدار R توسط پتی‌جان (۱۹۴۹)، دانه‌ها معمولاً در شش رده گردشگی شامل خیلی زاویه‌دار، زاویه‌دار، نیمه زاویه‌دار، نیمه گرد



شکل ۱۰. طبقه‌بندی گردشگی دانه‌های گراوی و رابلی نمونه‌های مورد مطالعه بر اساس پتی‌جان (۱۹۴۹) (مشاهده می‌شود که دانه‌ها در رده‌های خیلی زاویه‌دار، زاویه‌دار، نیمه زاویه‌دار، نیمه گرد شده و گرد شده قرار دارند).

Fig. 10. Roundness classification of the gravel and rubble grains of the studied samples according to Pettijohan (1949) (it can be seen that the grains are classified as very angular, angular, sub-angular, sub-rounded, rounded, and well-rounded).

برابر یک باشد آن دانه کروی خواهد بود. برای تعیین کرویت دانه از رابطه ۶ (اسنید و فولک، ۱۹۵۸) استفاده می‌شود:

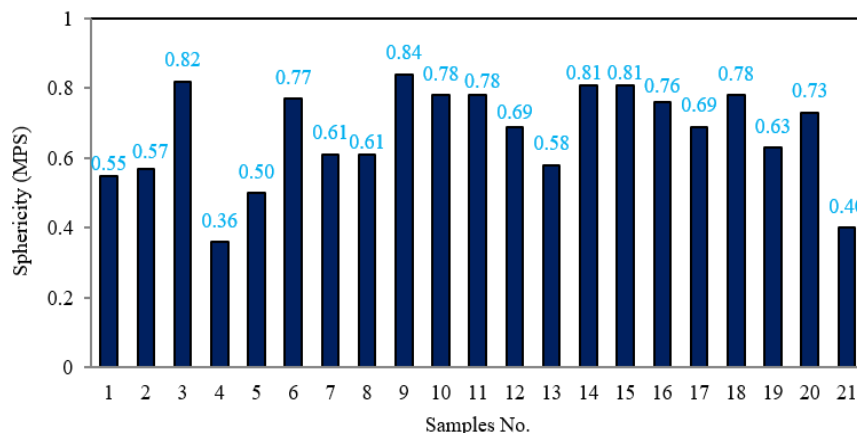
$$MPS = \sqrt[3]{S^2/L \times I} \quad (6)$$

کرویت: میزان شباهت یک دانه به کره را کرویت می‌گویند. در هر دانه سه قطر کوتاه، متوسط و بلند وجود دارد که به عنوان قطرهای اصلی شناخته می‌شوند. هر چه اندازه سه قطر اصلی یک دانه به هم نزدیک‌تر باشد آن دانه به کره نزدیک‌تر است. نسبت بین سه قطر اصلی اگر

کشیده، بین ۰/۶۳ تا ۰/۶۶ کمی کشیده، بین ۰/۶۶ تا ۰/۶۹ متوسط، بین ۰/۶۹ تا ۰/۷۲ کمی کروی، بین ۰/۷۲ تا ۰/۷۵ کروی و بیشتر از ۰/۷۵ خیلی کروی می‌باشند (پتی‌جان و همکاران، ۱۹۸۷). نتایج کرویت دانه‌های گراولی و رابلی در شکل ۱۱ ارائه شده‌اند. مطابق با نتایج ارائه شده در این شکل، دانه‌های گراولی و رابلی در تمامی رده‌های کرویت مطابق با طبقه‌بندی پتی‌جان و همکاران (۱۹۸۷) قرار می‌گیرند.

که در آن، MPS کرویت و S، I و L به ترتیب قطرهای کوتاه، متوسط و بلند دانه هستند.

بر اساس رابطه ۶، مقادیر کرویت دانه‌های گراولی و رابلی رسوبات مورد مطالعه محاسبه شدند. هر چه عدد کرویت به ۱ نزدیک‌تر باشد به معنای این است که اندازه قطرهای کوتاه، متوسط و بلند به هم نزدیک‌تر هستند و بنابراین شکل یک دانه به کره نزدیک‌تر و از کرویت بالاتر برخوردار خواهد بود. معمولاً اگر مقدار کرویت (MPS) کمتر از ۰/۶ باشد دانه خیلی کشیده، بین ۰/۶ تا ۰/۶۳



شکل ۱۱. طبقه‌بندی کرویت دانه‌های گراولی و رابلی (مشاهده می‌شود که دانه‌ها در رده‌های کرویت کم و تا حدودی کروی قرار دارند).

Fig. 11. Sphericity classification of the gravel and rubble grains (it can be seen that the grains are in the classes of low sphericity and somewhat spherical).

را نسبت به سایر فرم‌ها داشته‌اند. از سوی دیگر کمترین فراوانی با ۴/۸ درصد مربوط به فرم پهن فشرده می‌باشد. اصطلاح فرم برای توصیف سه‌بعدی یک دانه که از نسبت سه اندازه خطی شامل ضخامت (قطر کوتاه)، پهنا (قطر متوسط) و طول (قطر بلند) دانه به دست می‌آید به کار می‌رود (بلوت و پیه، ۲۰۰۸). فرم دانه در هنگام حمل و نقل تغییر حاصل می‌کند و این تغییرات به ترکیب کانی‌شناسی، اندازه، شکل اولیه، مسافت حمل شده، میزان سایش، خوردگی و یا انحلال دانه‌ها بستگی دارد (موسوی حرموی و همکاران، ۲۰۰۴؛ ساها و همکاران، ۲۰۱۷؛ آران و همکاران، ۲۰۱۹). در مسیر اصلی رودخانه خرمرود ذرات به شکل کشیده از بالادست تا پایین دست رودخانه به عنوان فراوان‌ترین شکل ذرات دیده می‌شوند.

فرم: رابطه‌ی بین سه بعد دانه شامل S (قطر کوتاه)، I (قطر متوسط) و L (قطر بلند) را فرم دانه می‌گویند. بر اساس مقادیر S، I و L، شاخص‌های S/L، I/L-S^۳ و $\sqrt[3]{S^2/L \times I}$ به دست می‌آیند که از آن‌ها برای طبقه‌بندی فرم دانه‌ها مطابق با شکل ۱۲ استفاده می‌شود. شاخص‌های اشاره شده برای دانه‌ها محاسبه و روی شکل ۱۲ پلات شدند. مطابق این شکل، دانه‌های گراول در طیفی از فرم‌های خیلی کشیده^۱، کشیده^۲، کشیده فشرده^۳، خیلی تیغه‌ای^۴، هم‌بعد^۵، پهن فشرده^۶ و تیغه‌ای فشرده^۷ قرار دارند. فراوانی مربوط به هر یک از این فرم‌ها برای دانه‌های رسوبات محاسبه و به صورت نمودار هیستوگرام در شکل ۱۳ نمایش داده شده‌اند. فرم‌های از نوع کشیده فشرده و کشیده به ترتیب با ۲۸/۶ و ۲۳/۸ درصد بیشترین فراوانی

^۱ Compact

^۲ Compact platy

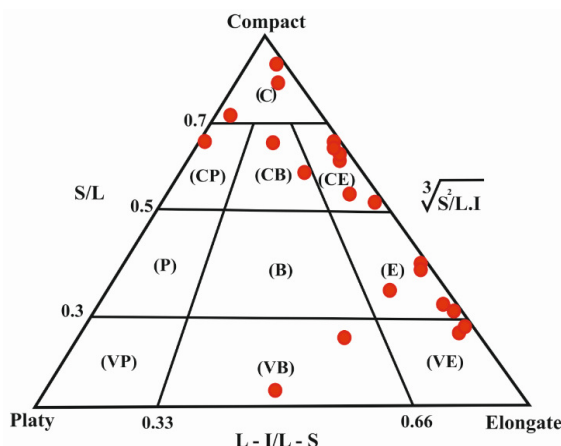
^۳ Compact bladed

^۴ Very elongate

^۵ Elongate

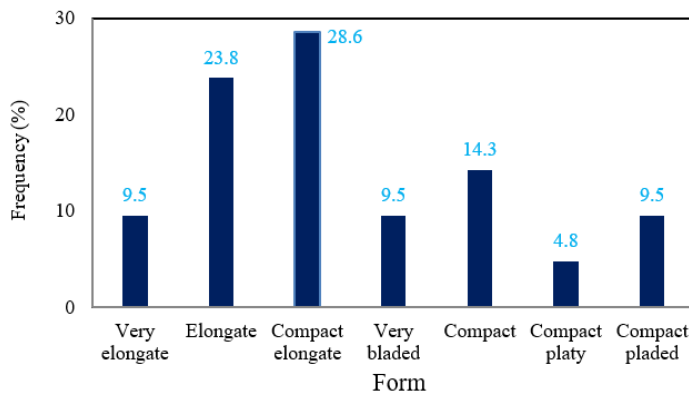
^۶ Compact elongate

^۷ Very bladed



شکل ۱۲. طبقه‌بندی فرم دانه‌های گراؤلی و رابلی (سنید و فولک، ۱۹۵۸)

Fig. 12. Form classification of the gravel and rubble grains (Sneed and Folk, 1958)



شکل ۱۳. فراوانی فرم دانه‌ها (مشاهده می‌شود که دانه‌ها در طیف وسیعی از انواع فرم‌ها قرار دارند. بیشترین فراوانی متعلق به نوع کشیده فشرده و کشیده و کمترین فراوانی مربوط به فرم پهن پهن فشرده هستند).

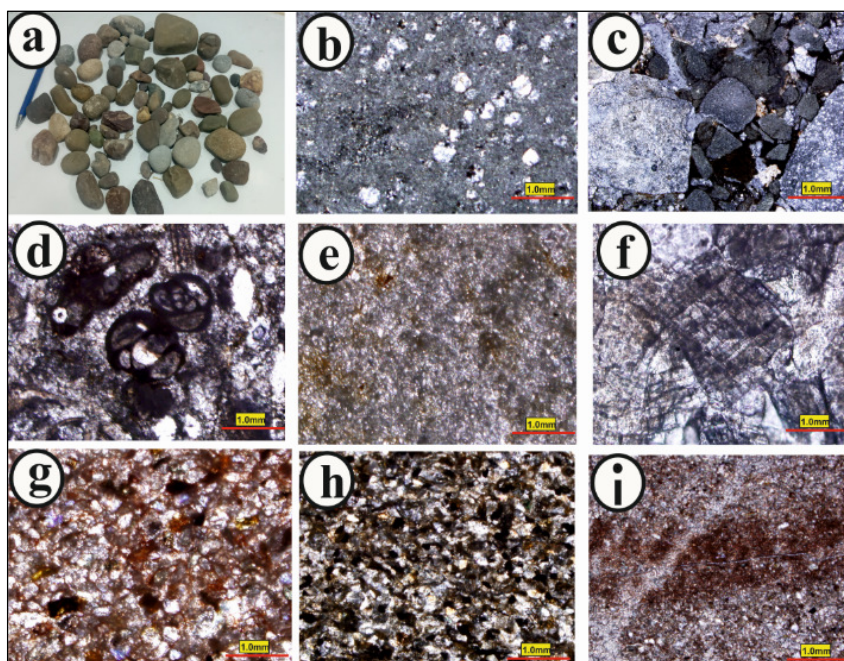
Fig. 13. The frequency of the grains form (it can be seen that the grains are in a wide range of forms. The highest frequency belongs to the compact elongate and elongate forms, and the lowest frequency is for form of compact platy).

ریزشوندگی توسط ناپیوستگی‌هایی قطع می‌شود. ورود منابع جانبی، تغییر لیتوژئی، برداشت شن و ماسه رودخانه‌ای، وجود گسل در مسیر و افزایش شیب بستر شش عامل ایجاد ناپیوستگی در روند ریزشوندگی به سمت پایین دست رودخانه‌ها می‌باشد. همچنین این پژوهشگران بیان کردند که منابع نقطه‌ای (مانند شاخه‌های فرعی) موجب پرش موقتی در روند ریزشوندگی و منابع خطی (مانند مخروطافکنه) موجب روند درشت‌شوندگی موقتی در مسیر رودخانه‌ها می‌شوند. داودی و همکاران (۱۴۰۱)، رسوب‌شناسی، رخساره‌ها و مدل رسوبی مخروطافکنه آبیک استان قزوین را مطالعه کردند. نتایج دانه‌سنگی، رخساره‌ها نشان داد اندازه‌ی رسوبات مخروطافکنه‌ی آبیک، تغییرات وسیعی را از گراؤل تا رس نشان می‌دهد و بافت

در مطالعات گذشته برخی پژوهشگران به بررسی مشخصه‌های بافتی رسوبات آواری پرداخته‌اند. فرینگر (۲۰۰۸) و ونکاتسان و سینگراسوبرامانیان (۲۰۱۶)، روند ریزشوندگی رسوبات به سمت پایین دست رودخانه‌ها در رودخانه‌های دارای بارهای ماسه‌ای فراوان و بزرگ را بررسی کردند. نتایج نشان داد که کاهش اندازه دانه‌ها در طول مسیر رودخانه می‌تواند بر اثر سایش و برخورد آن‌ها با یکدیگر حاصل شده است. همچنین کاهش شدت جریان رودخانه که تحت عنوان جورشدگی هیدرولیکی و یا حمل انتخابی ذرات در کanal رودخانه مطرح می‌شود نیز باعث کاهش اندازه دانه‌ها در پایین دست شده است. بهبهانی و خدابخش (۱۳۹۷)، در یک مطالعه جامع و کامل تحلیل رسوب‌شناسخی سیستم‌های رودخانه‌ای ایران را مورد بررسی قرار دادند. به عقیده این پژوهشگران، روند

شاخه‌های فرعی روند کاهش درصد وزنی گراول کمتر است. روند تغییرات درصد وزنی ماسه و گل در رودخانه میانرود بیانگر یک روند افزایشی است. بررسی نمودار تغییرات جورشده نمونه‌ها در مسیر رودخانه میانرود نشان دهنده بهبود نسبی جورشده از بالا دست به سمت پایین دست رودخانه است. میانگین جورشده در طول مسیر اصلی رودخانه ۱/۸۸ فی را نشان می‌دهد و از نظر توصیفی جورشده بدارند که این جورشده در رابطه با نوع جریان سیالابی رودخانه است.

رسوبات این مخروطافکته عمدتاً گراول و گراول ماسه‌ای با جورشده‌گی ضعیف و کجشده‌گی مثبت است. نورا (۱۴۰۲)، مطالعه بافتی، عناصر ساختاری و مدل رسوبی رودخانه کوهستانی میانرود، میرجاوه (جنوب خاوری ایران) را بررسی کردند. نتایج این پژوهش نشان داد روند تغییرات درصد وزنی گراول در رودخانه میانرود از ۹۷/۰۷ به ۴۹/۹۲ درصد است. در این رودخانه به دلیل شیب زیاد، سنگ منشأ ولکانوکلاستیک‌های آذرین (بهویژه داسیت و آندزیت) می‌باشدند که مقاومت بیشتری در مقابل ریزشوندگی نشان می‌دهند و از سوی دیگر به دلیل ورود



شکل ۱۴. تصاویر مقطع نازک میکروسکوپی قطعات دانه درشت، a) نمونه رسوبات گراولی و رابلی که از آن‌ها مقطع نازک میکروسکوپی تهیه شده است. b) مقطع نازک قطعه چرتی، c) مقطع نازک قطعه میکروکنگلومرایی که قطعات آن غالباً چرتی می‌باشدند. d و e) مقطع نازک قطعات کربناته (در این تصویر، میکروفسیل نیز مشاهده می‌شود). f) مقطع نازک قطعه دولومیتی، g و h) مقطع نازک از قطعات ماسه‌سنگی، i) مقطع نازک قطعه سیلتستونی.

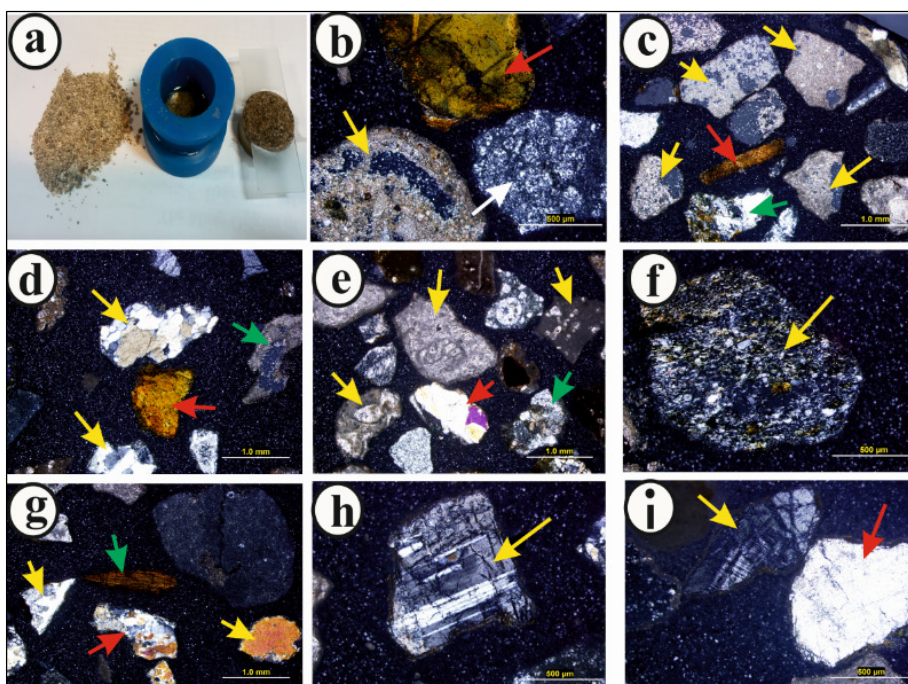
Fig. 14. Images of microscopic thin sections of the coarse grain pieces (gravel and rubble), a) Gravel and rubble sediments to prepare of microscopic thin sections, b) Thin section of a chert piece, c) Thin section of a piece of micro-conglomerate whose pieces are mostly chert, d, e) Thin section of carbonate pieces (Microfossils can also be seen in this image), f) Thin section of dolomite piece, g, h) Thin section of sandstone fragments i) Thin section of siltstone fragment.

هواردگی، فراهم کننده رسوبات منطقه بوده‌اند. این رسوبات به عنوان پرکننده مناطق فرورفتۀ پایین دست ارتفاعات عمل کرده‌اند. برای تعیین منشأ رسوبات، مطالعات کانی‌شناسی با استفاده از میکروسکوپ پلاریزان روی ۱۵ عدد مقطع نازک تهیه شده از ذرات رسوبات در اندازه ۱ فی انجام شد. در شکل ۱۴، نمونه رسوبات درشت‌دانه برای مطالعات سنگنگاری و کانی‌شناسی نشان

۴-۵- سنگنگاری و کانی‌شناسی
بر اساس نقشه زمین‌شناسی ۱/۲۵۰۰۰ شهرستان خرم‌آباد، پراکندگی سازنده‌ای منطقه مورد مطالعه شامل توالی‌هایی از نهشته‌های دوران میان زیستی و نوزیستی می‌باشدند (مطیعی، ۲۰۰۳). فراوانی سنگ‌های رسوبی (سنگ‌های آهکی و آواری) در توالی‌های مربوط به این دوران ها بیشترین مقدار بوده به طوری که تحت تأثیر عوامل مختلف

سهم قطعات رسوبی بیش از ۹۵ درصد می‌باشد. قطعات رسوبی شامل خردہسنگ‌های چرتی، کربناته، ماسه‌سنگی، سیلیستونی و دولومیتی هستند که فرسایش سازنده‌های تاقدیس خرم‌آباد سهم عمده‌ای در تشکیل آن‌ها داشته‌اند. منشأ خردہسنگ‌های آذرین و دگرگونی به سازنده‌های آواری نظیر کشکان و امیران نسبت داده می‌شود.

داده شده است. در این تصاویر، مقاطع نازک قطعات چرتی (شکل ۱۴b)، میکروکنگلومراپی (شکل ۱۴c)، کربناته (شکل ۱۴d,e) دولومیتی (شکل ۱۴f)، ماسه‌سنگی (شکل ۱۴g,h) و سیلیستونی (شکل ۱۴i) ارائه شده است. در رسوبات مورد مطالعه، ذرات دانه‌درشت (گراول و رابل) عمده‌تاً شامل قطعات رسوبی، آذرین و دگرگونی هستند که



شکل ۱۵. مطالعات کانی‌شناسی بر روی قطعات دانه متوسط ماسه‌ای (کوچک‌تر از ۲ میلی‌متر)، a) نمونه ماسه قبل از قالب‌گیری توسط رزین، b) مقاطع نازک خردہسنگ‌های چرتی (پیکان سفید)، کربناته (پیکان زرد) و خردہسنگ آذرین (پیکان قرمز)، c) مقاطع نازک خردہسنگ‌های کربناته (پیکان‌های زردرنگ)، خردہسنگ چرتی (پیکان سبز) و پیکان قرمز (پیکان زردرنگ)، خردہسنگ آذرین (پیکان قرمز) و خردہسنگ‌های سیلیستونی (پیکان سبز)، توجه شود. d) مقاطع نازک کوارتز پلی‌کریستالین (پیکان‌های زردرنگ)، خردہسنگ آذرین (پیکان قرمز) و خردہسنگ‌های سیلیستونی (پیکان سبز)، e) خردہسنگ‌های کربناته (پیکان‌های زردرنگ) که در آن‌ها میکروفسیل نیز مشاهده می‌شود (پیکان قرمز یک کوارتز پلی‌کریستالین و پیکان سبز یک قطعه چرتی را نشان می‌دهد). f) مقاطع نازک خردہسنگ دگرگونی، g) مقاطع نازک خردہسنگ‌های چرتی (پیکان‌های زردرنگ)، پیکان قرمز یک کوارتز پلی‌کریستالین و پیکان سبز یک قطعه کانی بیوتیت را نشان می‌دهد (به زوایای تیز قطعه چرتی و بیوتیت توجه شود). زاویه‌دار بودن این قطعات بیانگر حمل کوتاه مدت از محل منشأ می‌باشد. h) فلدسپات پلازیوکلاز (به سالم بودن و زاویه‌دار بودن دانه توجه شود). i) فلدسپات پتانسیم‌دار (میکروکلین)، پیکان زردرنگ) و دانه کوارتز (پیکان قرمز).

Fig. 15. Mineralogical studies on pieces of medium-grain sand (smaller than 2 mm), a) Sand sample before molding by resin, b) Thin section of rock-fragments of chert (white arrow), carbonate (yellow arrow) and igneous (red arrow), c) The thin section of the rock-fragments of carbonate (yellow arrows) and chert (green arrow), and the red arrow shows a piece of biotite mineral (Pay attention to the angularity of some rock-fragments), d) Thin section of polycrystalline quartz (yellow arrows), igneous rock-fragments (red arrow), and siltstone rock-fragments (green arrow), e) Carbonate rock-fragments (yellow arrows) in which microfossils are also observed (The red and green arrows shows a polycrystalline quartz and a piece of chert, respectively), f) Thin section of metamorphic rock-fragments g) Thin section of chert rock-fragments (yellow arrows), the red arrow shows a polycrystalline quartz and the green arrow shows a piece of biotite mineral (Pay attention to the sharp angles of chert and biotite pieces). The angularity of these pieces indicates short-term transportation from their origin h) Plagioclase feldspar (note that the grain is fresh and angular), i) Potassium-rich feldspar (microcline, yellow arrow) and quartz grain (red arrow).

آواری کوارتز، فلدسپات و خردہسنگ تشکیل شده‌اند (شکل ۱۵). کوارتز به عنوان مهم‌ترین و فراوان‌ترین کانی شناسایی شده در رسوبات است به طوری که ۶۵ تا ۶۵ درصد کل رسوبات را تشکیل می‌دهد. اندازه دانه‌های

فراوانی یک کانی در رسوبات به فراوانی، پایداری مکانیکی و ثبات شیمیایی سنگ منشأ بستگی دارد (تاکر، ۲۰۰۱). مطالعات کانی‌شناسی بر روی مقاطع نازک ذرات ماسه‌ای منطقه مورد مطالعه نشان داد که این رسوبات از دانه‌های

عنوان منشأ اصلی خرده‌سنگ‌های رسوبی رودخانه خرم‌رود در نظر گرفت. همچنین منشأ سایر ذرات نظیر کوارتز، فلدسپات و خرده‌سنگ‌های آذرین و دگرگونی را می‌توان به انتقال و حمل آن‌ها از منشأ بالادستی رودخانه خرم‌رود نسبت داد. در طول مسیر رودخانه علاوه بر میزان بالارفتن گردش‌گی، کرویت نیز افزایش می‌باید. بالا بودن کرویت و گردش‌گی برخی دانه‌های گراولی در مسیر رودخانه خرم‌رود تنها به عامل حمل و نقل (موسوی‌حرمی و همکاران، ۲۰۰۴) و سایش دانه‌ها در اثر برخورد با یکدیگر در طی حمل در مسیر رودخانه (فرینگز، ۲۰۰۸) مرتبط نمی‌باشد بلکه به دلیل حمل مجدد این گراول‌ها نیز در ارتباط است. روند تغییرات اندازه دانه‌ها از الگوی نمایی کاهش به سمت پایین دست رودخانه به طور کامل پیروی نکرده است که می‌تواند به دلایلی از جمله ورود رسوبات درشت جانبی از شاخه‌های فرعی، افزایش شیب بستر، نمایان شدن سنگ بستر، تغییر در سنگ‌شناسی واحدهای زمین‌شناسی و پویایی زمین‌ساختی از جمله وجود گسلش‌ها در مسیر رودخانه باشد.

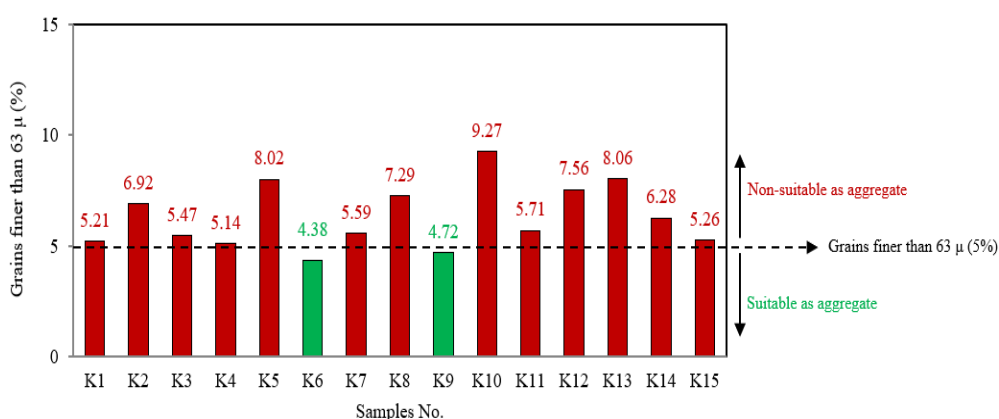
۵-۵- ارزیابی مناسب بودن رسوبات برای استفاده به عنوان سنگدانه بتن

بن بن به عنوان یک مصالح ساختمانی از ترکیب مواد مختلفی تشکیل شده است. از دیدگاه کلی می‌توان بتن را ترکیبی از یک ماده چسباننده (خمیر سیمان) و مصالح سنگی (سنگدانه) در نظر گرفت. خمیر سیمان شامل سیمان، آب و حباب‌های ریز هوا بوده و سنگدانه نیز شامل ریزدانه‌ها (رس و سیلت) و درشت‌دانه‌ها (ماسه و شن) می‌شود. البته امروزه در اکثر پژوهش‌ها از مواد افزودنی (عمدتاً روان‌کننده‌ها و فوق روان‌کننده‌ها) برای ارتقاء کیفیت بتن و حصول مشخصات فنی مورد نظر نیز استفاده می‌شود. در میان محققان، بتن برترین مصالح ساختمانی قرن بیستم بوده است. مواد اولیه آن به آسانی قابل دسترس بوده و با توجه به ماهیت سیال بودن بتن، می‌توان اشکال مختلف سازه‌ای را با آن ساخت. این ماده با محیط زیست سازگار و به لحاظ اقتصادی با صرفه است. بن بن از دیدگاه مشخصات فنی نیز از مقاومت خوبی برخوردار است و می‌تواند با دوام باشد. بدینهی است که برای تولید بتن مناسب باید از مصالح مصرفی مطابق با استانداردهای ملی و بین‌المللی استفاده کرد (زنگ و همکاران، ۲۰۲۲). باید توجه داشت که

کوارتز در حد سیلت تا ماسه درشت متغیر بوده و غالباً دارای خاموشی مستقیم و موجی هستند. بالا بودن نسبت کوارتز پلی‌کریستالین (Qp) به کوارتز مونوکریستالین (Qm) بیانگر حمل کوتاه مدت رسوبات منطقه مورد مطالعه است. مقادیر کوارتز (تکبلوری و چندبلوری) در نمونه‌های مورد مطالعه حداقل بین ۱۰ تا ۲۰ درصد می‌باشد. به دلیل سختی کم فلدسپات‌ها، پایداری مکانیکی آن‌ها کمتر از کوارتز بوده و علاوه بر این به دلیل رخ قوی و سهولت در هیدرولیز، دارای پایداری شیمیایی کمتری نسبت به کوارتز هستند. مقدار فلدسپات بین ۵ تا ۱۰ درصد بوده و از سوی دیگر فلدسپات‌های پتانسیم‌دار (میکروکلین) به علت پایداری شیمیایی بیشتر نسبت به پلازیوکلاز، از فراوانی بیشتری برخوردارند. بر اساس مطالعات مقاطع نازک میکروسکوپی، فلدسپات‌ها سالم بوده و هوازدگی اندکی را نشان می‌دهند که دلالت بر حمل کوتاه مدت رسوبات دارد. ترکیب خرده‌سنگ‌ها اساساً به نوع سنگ منشأ و مقاومت دانه‌ها در طی حمل و نقل وابسته است (تاکر، ۲۰۰۱). خرده سنگ‌ها نماینده فابریک و پاراژنز سنگ مادر هستند (گارزانی و ویزویلی، ۲۰۰۳؛ دیبناس و همکاران، ۲۰۲۳). خرده‌سنگ‌ها عمدها شامل خرده-سنگ‌های رسوبی از نوع ماسه‌سنگی (۱۵ تا ۲۰ درصد)، سیلیستونی (۱۰ تا ۱۵ درصد)، کربناته (۲۰ تا ۲۵ درصد) و چرتی (۱۵ تا ۲۰ درصد) می‌باشند. از سوی دیگر خرده-سنگ‌های آذرین (آندریتی) و دگرگونی (شیستی) دارای فراوانی بین ۳ تا ۵ درصد هستند. با توجه به اینکه خرده-سنگ‌ها اکثراً رسوبی (ماسه‌سنگی، کربناته و چرتی) هستند لذا سنگ منشأ رسوبات را می‌توان به فرسایش سنگ‌های رسوبی تاقدیس خرم‌آباد نسبت داد. همچنین وجود مقادیر اندک خرده‌سنگ‌های آذرین و دگرگونی ناشی از فرسایش سازنده‌ای آواری نظیر سازند کشکان و امیران رخنمون یافته در منطقه دانست زیرا که رسوبات تأمین کننده این سازنده‌ها منشأ رادیولاریتی دارند. به هر حال بخش عمده خرده‌سنگ‌های آذرین و دگرگونی دارای منشأ بالادست هستند که توسط رودخانه به مناطق پایین دست حمل شده‌اند. فراوانی کوارتز پلی‌کریستالین و فلدسپات‌های سالم و غیرهوازده و همچنین گردش‌گی و کرویت ضعیف تا متوسط دانه‌ها بیانگر فرسایش در نزدیک منشأ و حمل و نقل کوتاه مدت رسوبات است. در مجموع، فرسایش سنگ‌های رسوبی تاقدیس خرم‌آباد را می‌توان به

۱۶ نمایش داده شده است. از این شکل می‌توان مشاهده کرد که از ۱۵ نمونه رسوب برداشت شده از مکان‌های مختلف مسیر رودخانه خرم‌رود، صرفاً دو نمونه مقادیر کمتر از ۵ درصد ذرات کوچک‌تر از ۶۳ میکرون دارند. این نمونه‌ها با کدهای K6 و K9 در شکل ۱۶ نمایش داده شده‌اند که به ترتیب حاوی $4/38$ و $4/72$ درصد ریزدانه هستند. بنابراین از دیدگاه دانه‌بندی، رسوبات برداشت شده از مناطق مربوط به این نمونه‌ها در مسیر رودخانه خرم‌رود برای استفاده به عنوان سنگدانه بتن مناسب هستند. به هر حال، سایر نمونه‌ها به دلیل اینکه مقدار ریزدانه آن‌ها بیشتر از ۵ درصد است معیار فنی لازم از دیدگاه دانه‌بندی را برای استفاده به عنوان سنگدانه بتن ندارند. باید توجه کرد که اگرچه رسوبات آبرفتی برخی مناطق مسیر رودخانه خرم‌رود قابلیت استفاده به عنوان سنگشکن (برای خرد کردن) دارند درشت به ذرات ریز) و سرند/شستشو (برای جدایش ذرات ریز از ذرات درشت)، می‌توان دانه‌بندی آن‌ها را به گونه‌ای تغییر داد که امکان استفاده به عنوان مصالح سنگدانه را داشته باشند.

استفاده از مصالح مرغوب شرط لازم برای تولید بتن خوب است ولی به تنها یکی کافی نیست. به عبارتی با استفاده از مصالح مناسب نیز بتن‌هایی با کیفیت نامناسب تولید می‌شوند. موارد متعددی از پروژه‌های عمرانی که مدتی پس از بهره‌برداری دچار مشکلات جدی شده‌اند مؤید این مطلب است. سنگدانه بین ۵۰ تا ۷۵ درصد حجم بتن را در بر می‌گیرد، بنابراین کیفیت آن‌ها از اهمیت قابل ملاحظه‌ای در بتن برخوردار است (پالم و همکاران، ۲۰۱۶). سنگدانه‌های مصرفي در بتن باید به طور کلی دارای چنان کیفیتی باشند که بتوان از آن‌ها بتنی مرغوب، مقاوم و بادوام تهیه کرد. یکی از مهمترین پارامترهای مورد نیاز برای انتخاب سنگدانه مناسب، دانه‌بندی آن است که لازم است معیارهای فنی مورد نظر استانداردهای بین‌المللی را داشته باشد. بر این اساس، ضروری است که میزان ذرات کوچک‌تر از ۶۳ میکرون (عبوری از الک شماره ۲۳۰) حداقل ۵ درصد وزنی کل سنگدانه را تشکیل داده باشند. البته هر چه مقدار ذرات کوچک‌تر از ۶۳ میکرون کمتر باشد، سنگدانه مناسب‌تری برای تهیه بتن فراهم خواهد داشت. بر اساس نتایج دانه‌بندی، مقدار بخش مطالعه در شکل (کوچک‌تر از ۶۳ میکرون) رسوبات مورد مطالعه در شکل



شکل ۱۶. طبقه‌بندی نمونه‌های رسوب مورد مطالعه بر اساس بخش ریزدانه (کوچک‌تر از ۶۳ میکرون) برای ارزیابی مناسب بودن آن‌ها به عنوان سنگدانه بتن

Fig. 16. Classification of studied sediment samples based on fine grain part (finer than 63μ) to assess their suitability as concrete aggregate

که به سنگدانه‌های کوهی معروف هستند، در صورتی که سنگدانه‌های گردشده توسط فرآیندهای طبیعی مانند عمل آب‌های جاری (رودخانه) تشکیل می‌شوند و از آن‌ها به عنوان سنگدانه‌های طبیعی نام برده می‌شود.

علاوه بر دانه‌بندی، شکل ذرات سنگدانه روی مقاومت و کارایی بتن تأثیر بسزایی دارد (بشر و همکاران، ۲۰۰۳؛ استون و همکاران، ۲۰۰۹). به طور کلی شکل ذرات سنگدانه در دو گروه شامل گوشیدار و گردشده قرار می‌گیرند. سنگدانه‌های گوشیدار معمولاً به صورت مصنوعی توسط دستگاه‌ها و ابزاری مانند سنگشکن تهیه می‌شوند

رسوبات در رودخانه خرم‌رود شناخته شدند. اجزای آواری رسوبات رودخانه خرم‌رود شامل کوارتز (تک‌بلوری و چند‌بلوری) بین ۱۰ تا ۲۰ درصد، فلدسپات بین ۵ تا ۱۰ درصد، خردسینگ‌های نوع ماسه‌سنگی (۱۵ تا ۲۰ درصد)، سیلیستونی (۱۰ تا ۱۵ درصد)، کربناته (۲۰ تا ۲۵ درصد) و چرتی (۱۵ تا ۲۰ درصد) و خردسینگ‌های آذرین (آندزیتی) و دگرگونی (شیستی) بین ۳ تا ۵ درصد می‌باشند. بر این اساس، فرسایش سنگ‌های رسوبی تاقدیس خرم‌آباد منشأ اصلی خردسینگ‌های رسوبی رودخانه خرم‌رود هستند. همچنین منشأ سایر ذرات نظری کوارتز، فلدسپات و خردسینگ‌های آذرین و دگرگونی را می‌توان به انتقال و حمل آن‌ها از منشأ بالا دست رودخانه خرم‌رود در نظر گرفت. روند تغییرات اندازه دانه‌ها از الگوی نمایی کاهش به سمت پایین دست رودخانه به طور کامل پیروی نکرده است. این موضوع می‌تواند به دلایلی از جمله ورود رسوبات درشت جانبی از شاخه‌های فرعی، افزایش شیب بستر، نمایان شدن سنگ بستر، تغییر در سنگ-شناختی واحدهای زمین‌شناسی و پویایی زمین‌ساختی از جمله وجود گسل‌شناختی در مسیر رودخانه مرتبط داشت. در نهایت، مطابق با نتایج بررسی‌های دانه‌بندی رسوبات برداشت شده از رودخانه خرم‌رود، برخی از مناطق مسیر رودخانه پتانسیل مناسبی به عنوان مصالح سنگدانه‌ای برای استفاده در بتون دارند. این موضوع دارای دو مزیت بر جسته خواهد بود: یکی لای‌روبی و در نتیجه کاهش احتمال سیلابی شدن رودخانه خرم‌رود در مرکز شهر خرم‌آباد و دوم، دسترسی آسان و کم‌هزینه به منابع سنگدانه‌ای طبیعی به عنوان جایگزینی برای منابع مصنوعی حاصل از دستگاه‌های سنگ‌شکن دامنه کوهها (که عامل مهمی در آسیب به محیط زیست است).

۷- تشکر و قدردانی

این پژوهش در قالب طرح پژوهشی تحت عنوان "بررسی خصوصیات رسوب‌شناسی و زمین‌شناسی مهندسی رسوبات آبرفتی رودخانه خرم‌رود (شهرستان خرم‌آباد، استان لرستان) به منظور استفاده از آن‌ها به عنوان سنگدانه در بتون" با شماره "۱۴۰۴-۳۰-۵-۴۰۳-۱۴۰۴" و با استفاده از اعتبارات پژوهشی دانشگاه لرستان انجام شده است. نویسنده‌گان کمال تشکر و قدردانی را از معاونت پژوهش و فناوری دانشگاه لرستان دارند.

البته باید توجه کرد که آبهای جاری نیز می‌توانند در بردارنده ذرات رسوبی گوشیده‌دار باشند که این موضوع به مسافت حمل آن‌ها بستگی دارد. بتون کاربردهای مختلفی شامل بدنه سدهای بتونی، کانال‌های انتقال آب، اسکلت منازل مسکونی، دیوارهای حایل نگهدارنده دامنه جاده‌ها، سنتگفرش پیاده‌روها و ... دارد. با توجه به کاربرد بتون، برخی خصوصیات آن مانند مقاومت، کارایی، دوام در برابر سولفات و یخ‌بندان و ... از اولویت بیشتری برخوردار هستند. مقاومت یکی از مهمترین و حیاتی‌ترین خصوصیات بتون در اکثر پروژه‌های ساخت و ساز است. مقاومت به شدت متأثر از شکل سنگدانه‌های تشکیل‌دهنده آن است. سنگدانه‌های گوشیده‌دار به دلیل امکان درگیر شدن بهتر ذرات با یکدیگر و برقراری اصطکاک بیشتر بین آن‌ها، منجر به تولید بتونی مقاوم‌تر خواهد شد. به همین دلیل توصیه می‌شود در مواردی که مقاومت خیلی بالا برای بتون مد نظر باشد از سنگدانه‌های گوشیده‌دار استفاده شود. بر اساس شکل ۱۶، از میان مناطق نمونه‌برداری محدوده مورد مطالعه، صرفاً دو منطقه با کدهای K6 و K9 از منظر دانه‌بندی معیار اولیه مورد نیاز برای استفاده به عنوان سنگدانه بتون را دارند. با توجه به بررسی شکل ذرات، نمونه‌های آبرفت برداشت شده از مناطق K6 و K9 به ترتیب شکل هندسی گوشیده‌دار و خوب گردشده دارند. با مقایسه شکل هندسی ذرات، می‌توان گفت در شرایطی که هدف تولید یک بتون با مقاومت بالاتر باشد، استفاده از آبرفت‌های منطقه K6 نسبت به منطقه K9 برای استفاده به عنوان سنگدانه بتون ارجحیت خواهد داشت.

۶- نتیجه‌گیری

نتایج آماری نشان داد که طیفی از انواع ذرات رسوبی در آبرفت‌های رودخانه خرم‌رود در اندازه‌های مختلف با میانگین قطر ذرات ۰/۵۷ فی (ماشه درشت) وجود دارد. بر اساس نتایج آنالیز دانه‌بندی، رسوبات رسوبات در چهار گروه ماسه گراولی، گراول ماسه‌ای، گراول ماسه‌ای گلی و ماسه گلی گراولی قرار دارند. میانگین جورشده‌گی رسوبات ۲/۲۱ فی می‌باشد که بیانگر جورشده‌گی بسیار بد آن‌ها است. میانگین شاخص کشیدگی (K) ذرات ۱/۸۲ و میانگین کج شدگی (Sk) آن‌ها ۰/۱۳ بوده و گویای کج شدگی به سمت رسوبات دانه ریز است. حرکات کششی، جهشی و معلق به عنوان مهم‌ترین مکانیسم‌های حرکت

References

- Adeloye, A. J., Soundharajan, B. S (2019) Effect of dynamically varying zone hedging policies on surface water reservoir operational performance during climate change. Geological Society, London, Special Publications, 488: 277–289. doi.org/10.1144/SP488.1.
- Aharipour, R., Mosadegh, H (2011) Principles of sedimentology. Alavi press. 362 p. (In Persian).
- Amarjouf, N., Hammadi, A., Oujdi, M., Rezqi, H (2015) Sedimentological, geochemical and morphoscopic characterization of sediments from Nador Harbor (Morocco). *Bulletin de l'Institut Scientifique, Rabat, Section Sciences de la Terre*, 36: 1–11.
- Arens, S. M., Van boxel, J. H., Abuodha, J. O. Z (2002) Changes in grain size of sand in transport over a foredune. *Earth Surface Processes and Landforms*, 27: 1163–1175. doi.org/10.1002/esp.418.
- Arun, T. J., Prasad, K. R., Aneesh, T. D., Limisha, A. T., Seeraj, M.K., Srinivas, R (2019) Studies on the textural characteristics of sediments from Periyar River Basin, Kerala, Southern India. *International Journal of Applied Environmental Sciences*, 14(5): 495–526.
- Behbahani, R., Khodabakhsh, S (2018) Sedimentological analysis of fluvial systems. *New Finding in Applied Geology*, 12 (24): 102–124. doi.org/10.22084/nfag.2018.2455 (In Persian).
- Beshr, H., Almusallam, A. A., Maslehuddin, M (2003) Effect of coarse aggregate quality on the mechanical properties of high strength concrete. *Construction and Building Materials*, 17: 97–103. doi.org/10.1016/S0950-0618 (02)00097-1.
- Best, J., Fielding, C. R (2019) Describing fluvial systems: linking process to deposits and stratigraphy. Geological Society, London, Special Publications, 488: 152–166. doi.org/10.1144/SP488-2019-056.
- Blott, S. J., Pye, K (2008) Particle shape: a review and new methods of characterization and classification. *Sedimentology*, 55: 31–63. doi.org/10.1111/j.1365-3091.2007.00892.x.
- Carver, R. E (1971) Procedures in Sedimentary Petrology. Wiley Interscience, New York, 653 p.
- Corbett, P., Owen, A., Hartley, A., Pla- Pueyo, S., Barreto, D., Hackney, C (2019) River to reservoir: geoscience to engineering. Geological Society of London, 488. doi.org/10.1144/SP488-488.
- Davoudi, V., Khodabakhsh, S., Bahramabadi, B (2022) Sedimentology, facies and depositional model of the alluvial fan of Abyek, Qazvin. *Journal of Stratigraphy and Sedimentology Researches* E-ISSN: 2423-8007, 38: 35–58.
- Debnath, J., Sahariah, D., Lahon, D., et al., (2023) Assessing the impacts of current and future changes of the planforms of river Brahmaputra on its land use-land cover. *Geoscience Frontiers*, 14 (4): 101557.
- Demoulin, A (2011) Basin and river profile morphometry: A new index with a high potential for relative dating of tectonic uplift. *Geomorphology*, 126: 97–107. doi.org/10.1016/j.geomorph.2010.10.033.
- Di Giulio, A., Ceriani, A., Ghia, E., Zucca, F (2003) Composition of modern stream sand derived from sedimentary source rocks in a temperate climate (Norther Apennines, Italy). *Sedimentary Geology*, 158: 145–161. doi.org/10.1016/S0037-0738 (02)00264-6.
- Folk, R. L (1974) Petrology of sedimentary rocks. Hemphill Publishing Company Austin, Texas, 182 p.
- Frings, R. M (2008) Downstream fining in large sand-bed rivers; *Earth- Science Reviews*, 87: 158–193.
- Garzanti, E., Vezzoli, G (2003) A classification of metamorphic grains in sands based on their composition and grade. *Journal of Sedimentary Research*, 73: 830–837.
- Goudie, A., Middleton, N (2006) Desert Dust in the Global System. Springer, 288 p.
- Guarnieri, P., Pirrotta, C (2008) The response of drainage basins to the late Quaternary tectonics in the Sicilian side of the Messin Strait (NE Sicily). *Geomorphology*, 95: 260–273. doi.org/10.1016/j.geomorph.2007.06.013.
- Gupta, A., Hock, L., Xiaojing, H., Ping, C (2002) Evaluation of part of the Mekong River using satellite imagery. *Geomorphology*, 44: 221–239. doi.org/10.1016/S0169-555X(01)00176-3.
- Mao, L., Cavalli, M., Comiti, F., Marchi, L., Lenzi, M.A., Arattani, M (2009) Sediment transfer processes in two Alpine catchment of contrasting morphological settings. *Journal of Hydrology*, 364: 88–98. doi.org/10.1016/j.jhydrol.2008.10.021.
- McBride, E. F (1971) Mathematical treatment of size distribution data. Procedure in sedimentary petrology: John Wiley & sons, New York, pp 109–127.
- Miall, A. D (2006) Case studies of oil and gas fields in fluvial reservoirs. In: *The Geology of Fluvial Deposits*. Springer, Berlin, Heidelberg.
- Motiei, H (2003) Geology of Iran: Stratigraphy of Zagros. Geological Survey of Iran Publication. 536 p (In Persian).
- Moussavi Harami, R (2005) Sedimentology. Astan Qods Publication. 474 p (In Persian).
- Moussavi-Harami, R., Mahboubi, A., Khanehbad, M (2004) Analysis of controls downstream fining along three gravel-bed rivers in the Band-e-Golestan drainage basin NE Iran. *Geomorphology*, 61: 143–153. doi.org/10.1016/j.geomorph.2003.12.005.
- Noura, M. R (2023) Study of texture, architectural elements and sedimentary model of Mianroud

- mountains river. Mirjaveh. Southeast Iran. *Journal of applied sedimentology*, 11(21): 129–143. doi.org/10.22084/psj.2022.25739.1336 (In Persian).
- Owen, A., Nichols, G. J., Hartley, A. J., Weissmann, G. S., Scuderi, L. A (2015) Quantification of a distributive fluvial system: the salt wash DFS of the morrison formation, SW USA. *Journal of Sedimentary Research*, 85: 544–561. doi.org/10.2110/jsr.2015.35.
- Palm, S., Proske, T., Rezvani, M., Hainer, S., Muller, C., Graubner, C. A (2016) Cements with a high limestone content—Mechanical properties, durability and ecological characteristics of the concrete. *Construction and Building Materials*, 119: 308–318. doi.org/10.1016/j.conbuildmat.2016.05.009.
- Peterson, C. D., Minor, R., Peterson, G. L., Gates, E. B (2011) Pre-and post-Missoula flood geomorphology of the Pre-Holocene ancestral Columbia River Valley in the Portland forearc basin, Oregon and Washington, USA. *Geomorphology*, 129: 276–293. doi:10.1016/j.geomorph.2011.02.022.
- Pettijohn, F. J (1949) *Sedimentary Rocks*. Harper and Brothers, New York, 526 p.
- Pettijohn, F. J., Potter, P. E., Siever, R (1987) *Sand and sandstone*. Springer-Verlag, New York. 553 p.
- Rahman, M., Dustegir, M., Karim, R (2018) Recent sediment flux to the Ganges-Brahmaputra-Meghna delta system. *Science of the Total Environment*, 643: 1054–1064. doi.org/10.1016/j.scitotenv.2018.06.147.
- Saha, S., Basak, S. B (2020) Sedimentology of the fluvial deposits, the Old Brahmaputra River, Mymensingh, Bangladesh. *IOSR Journal of Applied Geology and Geophysics*, 8(1): 11–18. doi.org/10.9790/0990-0801031118.
- Saha, S., Roy, M. K., Reza, A. H. M. S (2017) Textural characteristics of the sediments of the Tista River, Rangpur, Bangladesh. *Journal of Life & Earth Sciences*, 12: 73–79.
- Sahiduzzaman, M (2024) Grain size analysis and depositional environment for Brahmaputra River sand of Kurigram District, Bangladesh. *International Journal of Science and Research (IJSR)*, 13(2): 1378–1390.
- Sahoo, S., Sharma, A (2023) Turbulent flow mechanisms in meandering channels with sediment transport. *Water Practice Technology*, 18(3): 484–500.
- Schlunegger, F., Badoux, A., Mc Ardell, B. W., Gwerder, C., Schnydrig, D., Riek-zapp, D., Molnar, P (2009) Limits of sedimentation transfer in an alpine debris-flow catchment, Illgraben, Switzerland. *Quaternary Science Reviews*, 20: 1097–1105.
- Singh, R., Kumar, R., Bahuguna, I. M (2020) Grain size analysis of dune and bar sediments of the Shyok River between Khalsar and Hunder village, Karakoram Range, Ladakh, India. *Journal of the Geological Society of India*, 95(2): 183–189.
- Smalley, I. J., Smalley, V (1983) Loess material and Loess deposits: formation, distribution and consequences. *Brookfield and Ahlbrandt*, 51–68.
- Sneed, E. D., Folk, R. L (1958) Pebbles in the lower Colorado river, Texas, a study in particle morphogenesis. *The Journal of Geology*, 66: 114–150. doi.org/10.1086/626490.
- Sohag, A., Roy, M. K., Islam, Md. M., Rahman, Z., Ahmed, F., Alim, A., Arafath, Md. Y (2024) Textural Characteristics and Depositional Regime of the Shitalakshya River Sediments, Bangladesh. *Geofluids*, 957253, doi.org/10.1155/2024/1957253.
- Stow, D. A.V., Nicholson, U., Kearsey, S., Tatum, D., Gardiner, A., Ghabra, A., Jaweesh, M (2020) The Pliocene-Recent Euphrates river system: Sediment facies and architecture as an analogue for subsurface reservoirs. *Energy Geoscience*, 1: 174–193.
- Stroeven, P., Hu, J., Guo, Z (2009) Shape assessment of particles in concrete technology: 2D image analysis and 3D stereological extrapolation. *Cement and Concrete Composites*, 31: 84–91.
- Tucker, M. E (1991) *Sedimentary petrology: an Introduction to the origin of sedimentary rocks*. Blackwell, 260 p.
- Tucker, M. E (2001) *Sedimentary Petrology* (3rdEdition). Blackwell, Oxford 260 p.
- Vandenbergh, J (2003) Climate forcing of fluvial system development: an evolution of ideas. *Quaternary Science Reviews*, 22: 2053–2060. doi.org/10.1016/S0277-3791 (03)00213-0.
- Venkatesan, S., Singarasubramanian, S. R (2016) Textural analysis of surface sediments in Arasalar River, Tamil Nadu and Pondicherry Union Territory, India. *International Journal of Applied Research*, 2(12): 164–171.
- Watson E. B., Pasternack, G. B., Gray, A., Goni, M., Woolfolk, A. M (2013) Particle size characterization of historic sediment deposition from a closed estuarine lagoon, Central California. *Estuarine, Coastal and Shelf Science*: 126: 23–33.
- Zhang, Y., Gu, L., Zhang, Q (2022) Durability of manufactured sand concrete in atmospheric acidification environment. *Case Studies in Construction Materials*, 17: e01613.
- Zieliński, P., Sokołowski, R. J., Jankowski, M., Standzikowski, K (2018) The climatic control of sedimentary environment changes during the Weichselian – An example from the Middle Vistula Region (eastern Poland). *Quaternary International*, 501: 120–134.

Study of sedimentological indices of alluviums of Khorramrood River (Khorramabad city) and evaluation of their suitability for use as concrete aggregate

A. Jamshidi^{1*}, M. Sedaghatnia^{2,3} and S. Aligholi⁴

1- Assoc. Prof., Dept., of Geology, Faculty of Science, Lorestan University, Khorramabad, Iran

2- Ph. D., student sedimentology and sedimentary rocks, Bu Ali Sina University, Hamedan, Iran

3- Expert of the Central Laboratory of Lorestan University, Khorramabad, Iran

4-Assist. Prof., Dept., of Geology,, Institute of Innovation, Science and Sustainability, Federation University, Ballarat 3350, VIC, Australia 3350, VIC, Australia

* Jamshidi.am@lu.ac.ir

Received: 2024.9.13 Accepted: 2025.2.18

Abstract

The aim of the study present is to investigate the sedimentological parameters of the sediments of Khorramrood River (Khorramabad city, Lorestan Province) using the moment's method, and determining the origin and how they are transported. In this regard, 15 samples were systematically taken from the bottom and wall sediments of the river channel from depths between 5 and 20 cm. Next, a number of 15 microscopic thin-sections from the sediment grains with a size of 1 φ were prepared for mineralogical composition studies with aim determining the source rock of the sediments. The statistical analyses revealed that there are a range of sedimentary grains with the different sizes, with an average diameter of 0.57 φ (coarse sand), in Khorramrood River. According to the results of gradation analysis, the sediments fall into the four groups including gS gravel sand (33.33%), sG sand gravel (33.33%), msG sand gravel (20.00%), and gmS sand gravel (13.33%). The average of sediments sorting was equal to 2.21 φ, indicating the very bad sorting of sediments. The average of elongation index (K) and skewness (Sk) of the grains is 1.82 and 0.13, respectively, showing that they are skewed towards fine-grained sediments. According to the investigations, stretching, jumping, and suspension were identified as the most main mechanisms of sediment movements. The detrital components of the sediments include quartz, feldspar, and sedimentary rock-fragments (such as sandstone, carbonate, and chert) and with the less amounts igneous and metamorphic rock-fragments. Based on these findings, the erosion of sedimentary rocks belonging to Khorramabad anticline can be considered as the main source of Khorramrood river sediments. Finally, the gradation results showed that among the studied sediment samples, 2 of them have the potential to be used as concrete aggregate.

Keywords: Khorramrood River, Alluvium, Sedimentology, Moment's method, Concrete aggregate

Introduction

River environments include complex systems of erosion, transport and sedimentation that cause the formation of various surface landscapes. These environments are dynamic systems affected by climatic conditions, catchment basin physiography, tectonic events, geology, flow speed and depth, and sediment transport, all of which play a role in the formation of sedimentary facies.

Many of the world's hydrocarbon reserves from the Precambrian to the Pliocene have been observed in river sediments. Besides economic aspects, river environments were investigated by various researchers in regard of sedimentology, such as the relationship

between processes and bedforms, morphological analyses, management and evolution of rivers in response to human activates and climatic changes.

Khorramrood River (Khorramabad city) is one of the sub-branches of the Kashkan River (Lorestan Province) which eventually flows into the Karkhe River (Khuzestan Province). Given that a part of this river passes through the center of Khorramabad city, so far study was not done regarding the parameters of sedimentology, the origin of sediments and how they are transported in this river. Therefore, the present study aims to investigate the sedimentological parameters of the alluviums of Khorramrood River (in the parts

passing through the center of Khorramabad city), determining the origin of sediments and identify the how they are transported.

Geographical location and geology of the region

The studied area includes a part of Khorramrood River in the center of Khorramabad city (Lorestan Province) with a long of 18 km. Figure 1 shows the location of Khorramrood River and the part of sediments on the bottom of the river channel. This river is one of the main sub-branches of the Kashkan River, which eventually flows into the Karkheh River. Based on geological map of the area, which is part of the 1/25000 map of Khorramabad city, there are some of outcrops belonging to formations of the geological second and third periods. The second period units include Sarvak, Ilam, Gurpi, and Amiran formations and the third period units include Tarbor, Kashkan, Asmari-Shahbazan, and Gachsaran formations. Also, part of the outcrops of study area includes young alluvial sediments.

Methodology of study

In order to achieve the goals of the present study, the sampling was carried out at a distance of 23 km from the Khorramrood River. The 15 samples were taken every 1 to 1.5 km from the wall and bottom of the river channel at a depth of 5 to 20 cm. Gradation analysis were performed using the dry method on sediments between 10 to 230 mesh. The mineralogical composition of the sand particles through microscopic thin-sections studies were carried out. Finally, based on the obtained data, the results have been analyzed.

Results and discussion

The results of gradation analysis show that the studied sediments of Khorramrood River are classified into four groups: gravelly sand, sandy gravel, clayey sand gravel, and gravelly clayey sand based on the classification of Folk (1974).

$$\bar{\alpha} = \frac{\sum f.m}{n}$$

$$\sigma = \sqrt{\frac{\sum f(m-\bar{\alpha})^2}{100}}$$

$$Sk = \frac{\sum f(m-\bar{\alpha})^3}{100\sigma^3}$$

$$K = \frac{\sum f(m-\bar{\alpha})^4}{100\sigma^4}$$

where, m is the middle point, f and n are the frequency of each sedimentary class and total frequency of sedimentary classes, respectively. In Table 4, the values of sedimentological parameters determined from the equations 1-4 are presented. The average diameter of sediment grains is between 0.29 and 0.82 (average: 0.57 φ). Considering that the diameter of the grains is between 0 and 1 φ, those are classified as coarse sand. The skewness of the sediments varies from -0.02 to 0.28 (average: 0.13), which indicates the skewing towards fine-grained sediments. Elongation of sediments is from 1.74 to 1.99 (average: 1.82), showing very elongated. This type of elongation indicates the good sorting of the grains as that be seen in some sediments such as samples No. 1, 2 and 3.

Conclusions

The statistical analyses showed that there are a range of sedimentary grains in Khorramrood River with the different sizes, with an average diameter of 0.57 φ. According to the results of gradation analysis, the sediments fall into the four groups including gravel sand, sand gravel, sand gravel, and sand gravel. The stretching, jumping, and suspension were identified as the most main mechanisms of sediment movements. The detrital components of the sediments include quartz, feldspar, and sedimentary rock-fragments (such as sandstone, carbonate, and chert) and with the less amounts igneous and metamorphic rock-fragments. Based on these findings, the erosion of sedimentary rocks belonging to Khorramabad anticline can be considered as the main source of Khorramrood river sediments. Finally, according to the results of studies on the grain size distribution of sediments collected from the Khorramrood River, some areas of the sampling have good potential as aggregate materials for use in concrete.